

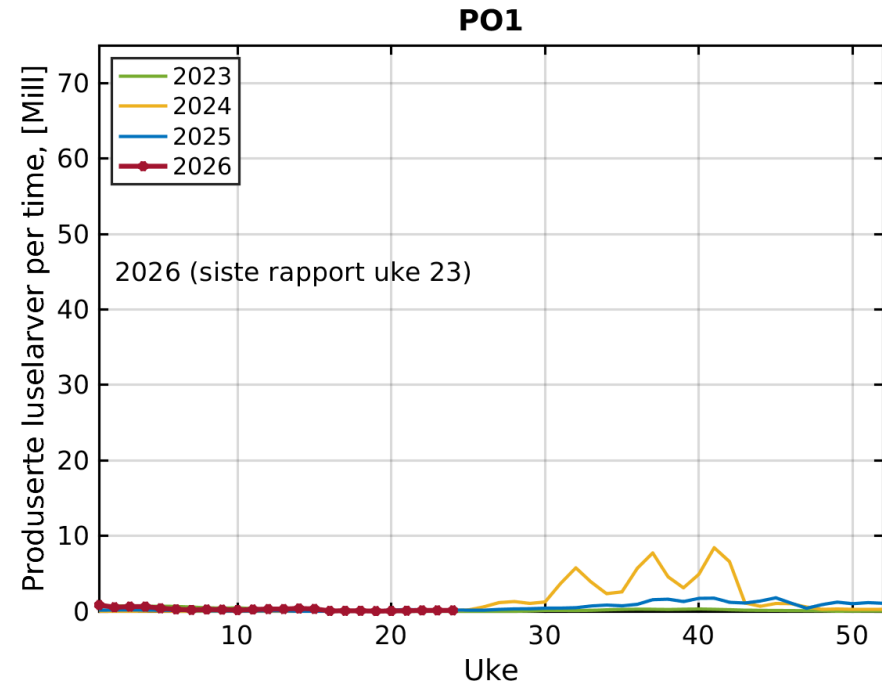
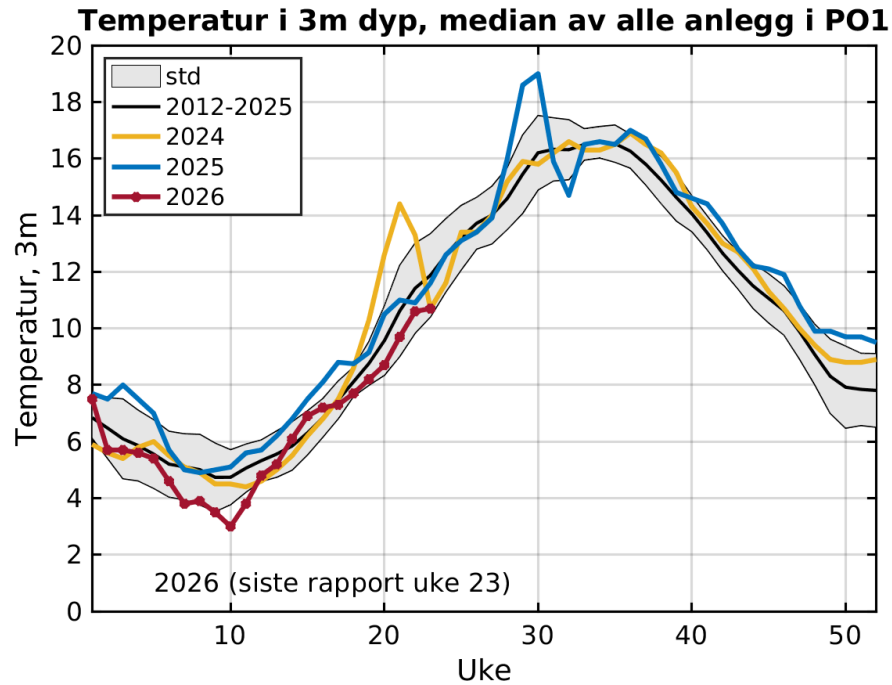
Status i PO1-PO13,
basert på rapporterte tall (til MT og Fdir),
og HI sin lakselusmodell.

Siste rapport fra anleggene var i uke 23 (1. - 7.juni)
Modellresultatene er beregnet frem til 14. juni

June 10, 2026

PO1

Vurdering frem til uke 24: Da den siste observasjonen ble tatt i uke 23 var temperaturen litt under gjennomsnittet for de siste 14 år. Usikkert, få anlegg som har rapportert. Antall produserte luselarver (summert over alle anlegg som rapporterer i PO1) ligger om lag som i 2025.

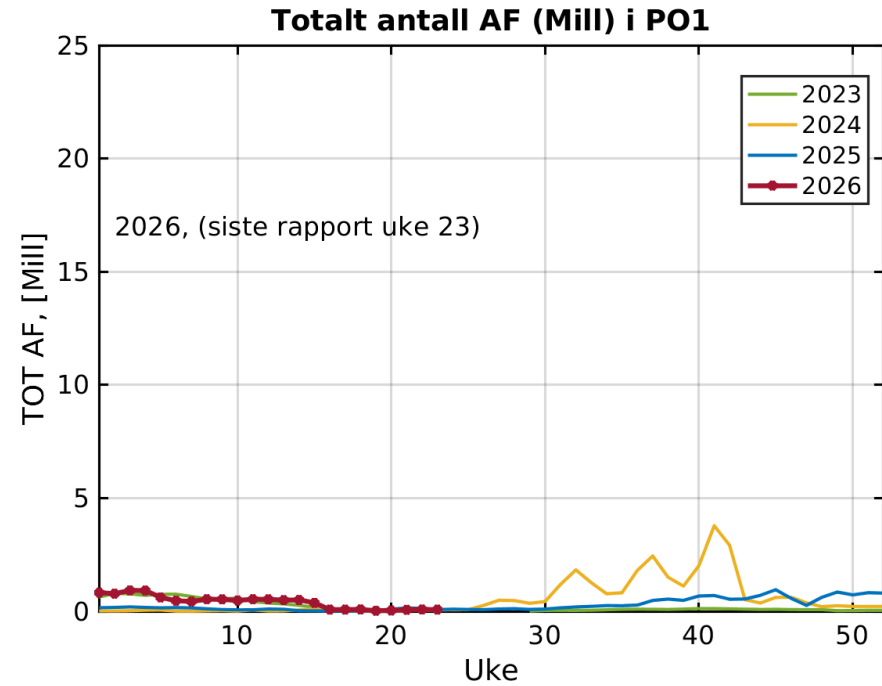
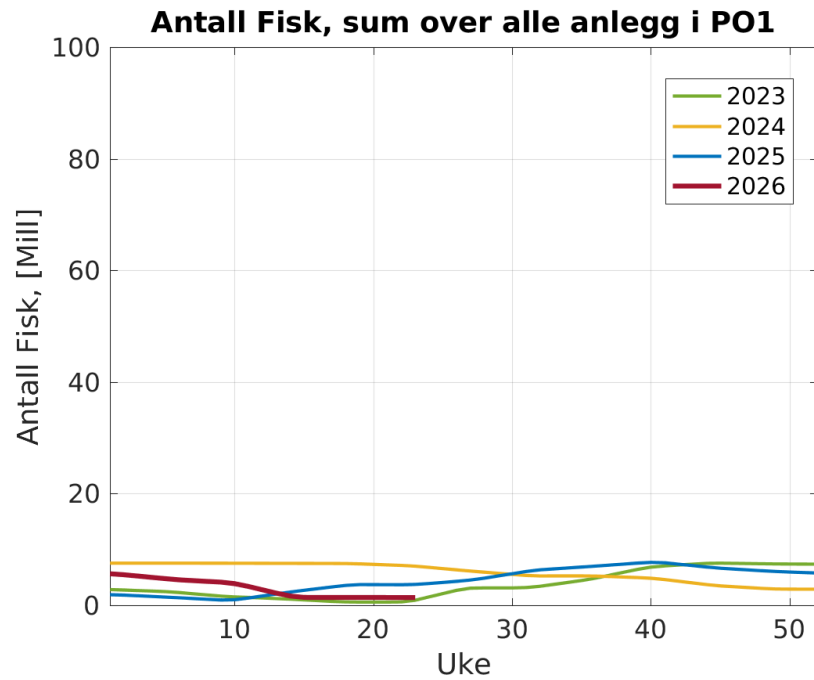


VENSTRE: Observert temperatur i 3m dyp. Sort linje viser middelverdien (2012 - 2025), og skravert felt viser pluss/minus et standardavvik.
HØYRE: Beregnet (Stien mfl 2005) utslipp av luselarver (summert over alle anlegg som rapporterer i PO01).

Støttefigurer:

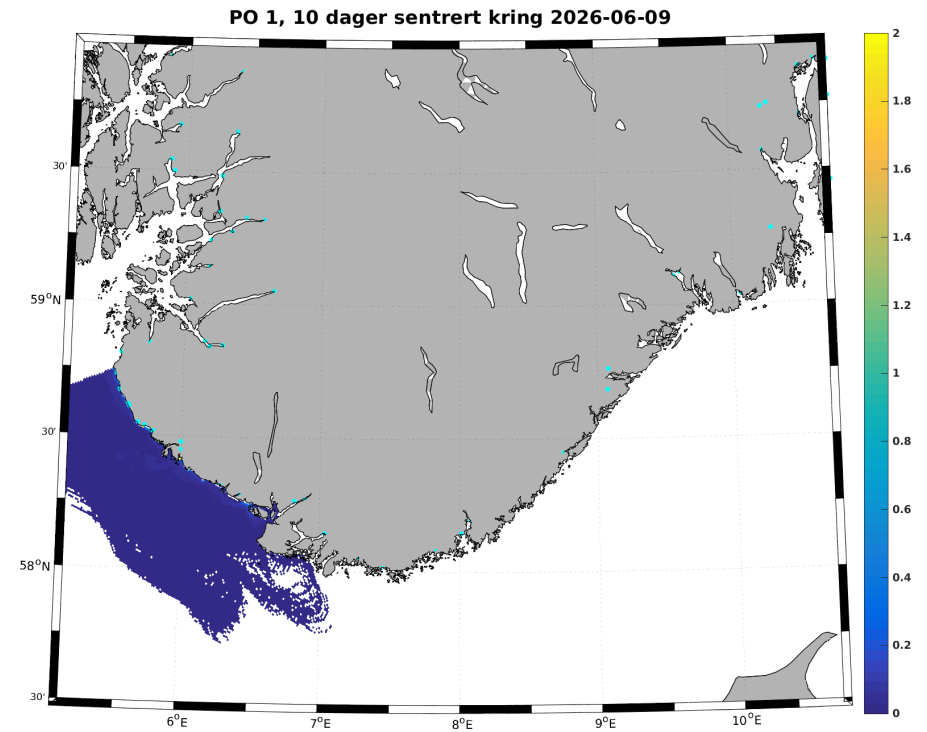
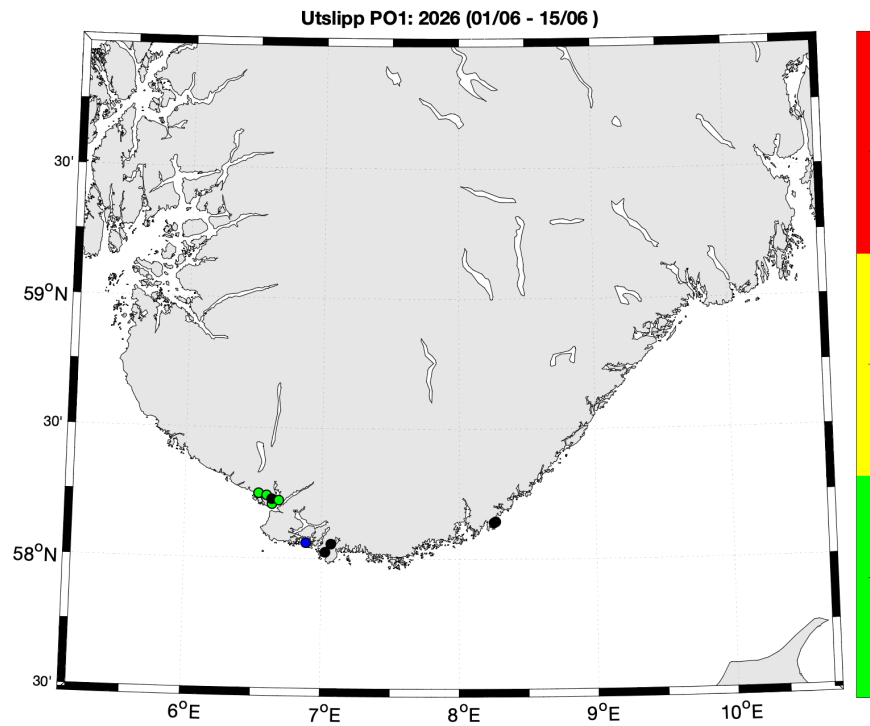
Sammen med vanntemperatur inngår antall fisk og antall voksne holus per fisk i formelen som benyttes til å estimere antall produserte luselarver på forrige side (Stien mfl 2005)

$$N_{naup} = N_{fish} \cdot N_{female} \cdot 0.17 \cdot (T + 4.28)^2,$$



VENSTRE: Antall fisk (laks + regnbueørret) summert over alle anlegg i P001.

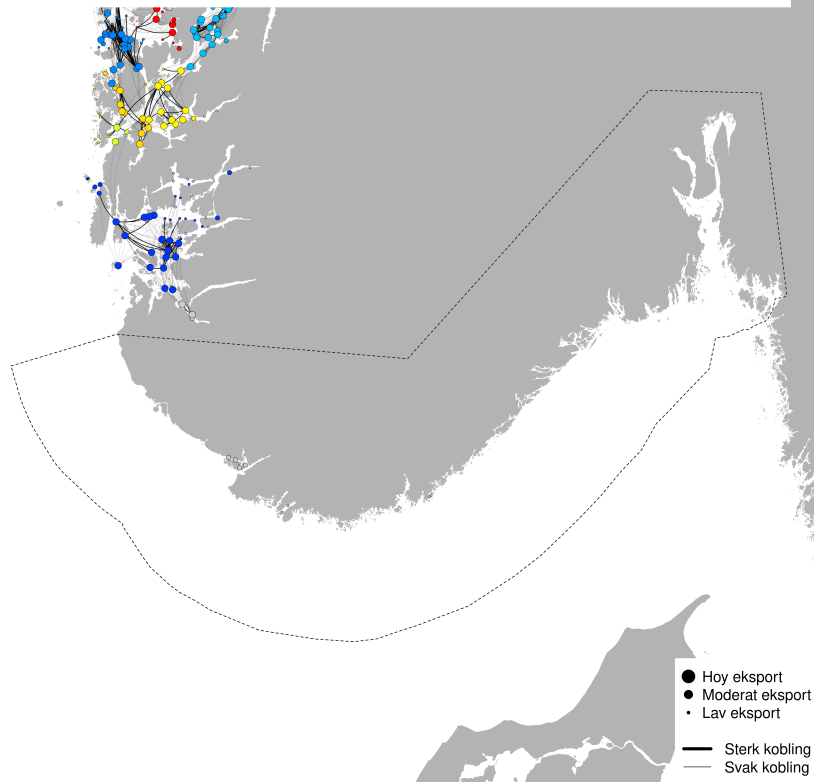
HØYRE: Totalt antall voksne holus i PO01(antall fisk * antall holus per fisk).



VENSTRE: Beregnet (Stien mfl 2005) utslipp av luselarver (millioner klekte egg per time) per anlegg, uke 23 → Blå anlegg har rapportert null lus. Sorte anlegg har enten ikke rapportert, eller blitt brakklagt ila 2025. Anlegg uten rapporteringer i 2025 er ikke tatt med. Fargeskalaen er relativ, og viser bare innbyrdes variasjon!

HØYRE: Tetthet av smittsomme lakseluslarver (per kvadratmeter), beregnet med Havforskningsinstituttet sin lakselusmodell.

PO1 - Modellert konnektivitet i perioden 2026-06-04 - 2026-06-14



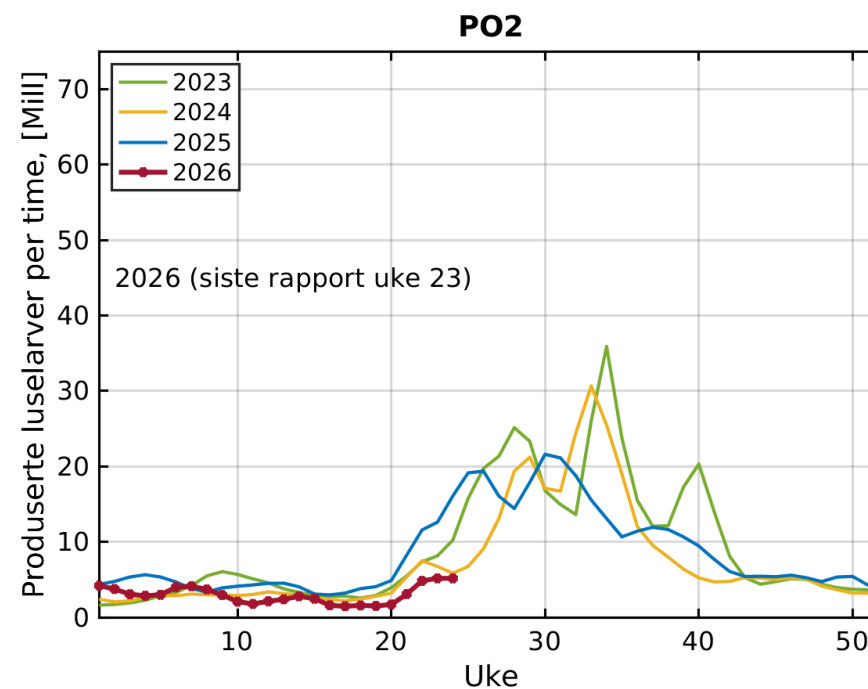
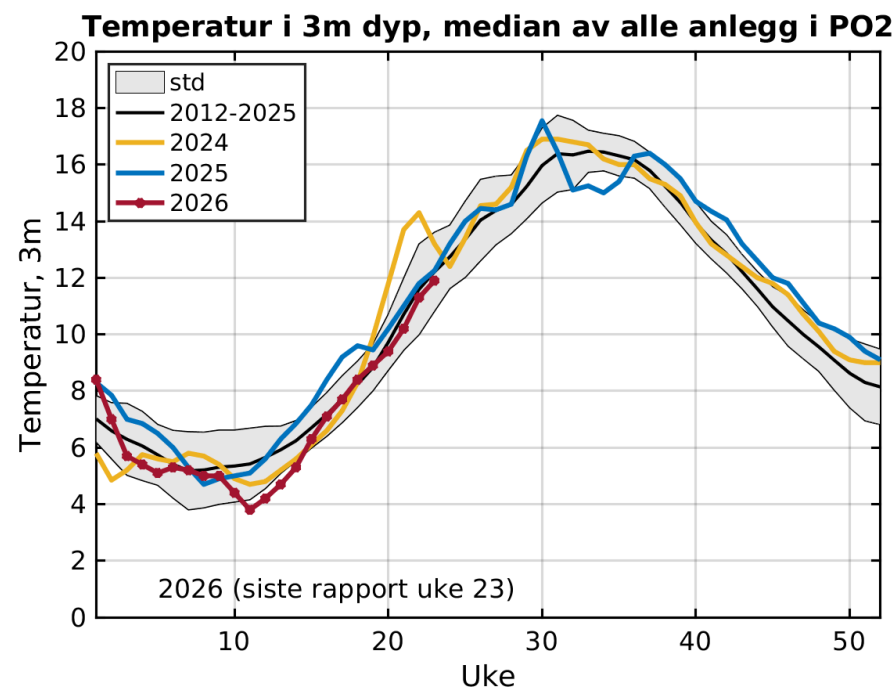
VENSTRE: Smitte av lakselus-kopepoditter mellom lokaliteter. Fargene viser hvilke lokaliteter som blir definert til å ligge i samme smitte-nettverk (klynge) i den gjeldende perioden. Størrelsen på sirklene er rangert etter samlet eksport fra lokaliteten (store sirklere = stor eksport), basert på landsdekkende estimer for den gjeldende perioden. Tykke linjer (koblinger) viser stor transport og tynne linjer viser lavere transport. Merk at de minste koblingene er utelatt for å gjøre figuren mer lesbar. Linjer som krummer med klokken viser eksport fra en lokalitet og linjer som krummer mot klokken viser import.

Metoden for å identifisere smitte-nettverkene er beskrevet i M.B.O Huserbråten, I.A. Johnsen, Seasonal temperature regulates network connectivity of salmon louse, ICES Journal of Marine Science, 2022;, fsac024. LENKE <https://doi.org/10.1093/icesjms/fsac024> Se også [nyhetssak](#) fra HI.

PO2

Vurdering frem til uke 24: Da den siste observasjonen ble tatt i uke 23 var temperaturen om lag som gjennomsnittet for de siste 14 år.

Antall produserte luselarver (summert over alle anlegg som rapporterer i PO02) ligger i uke 23 under nivået som var i 2025. Resultat fra lakselusmodellen viser en geografisk fordeling som varierer mellom år.



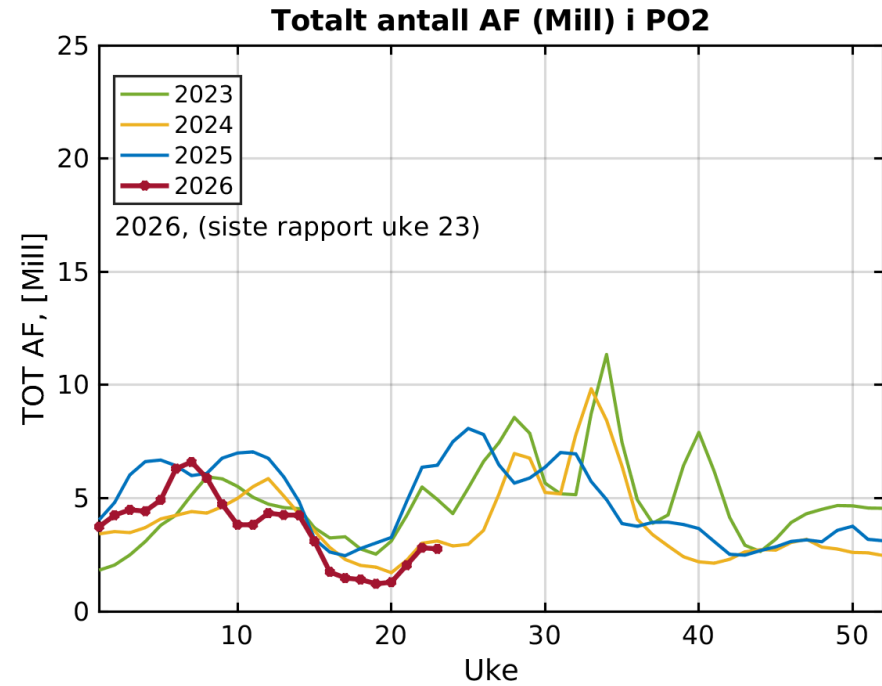
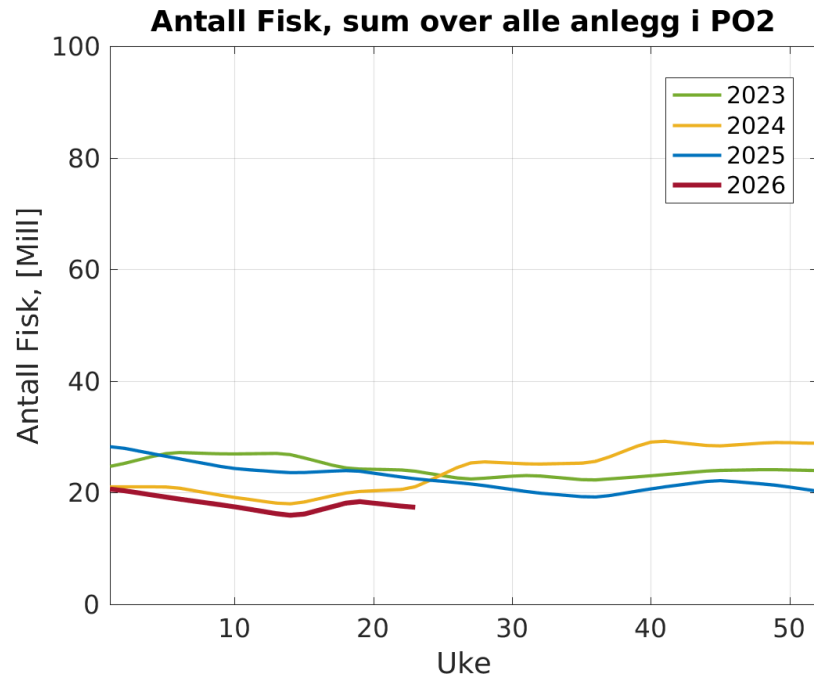
VENSTRE: Observert temperatur i 3m dyp. Sort linje viser middelverdien (2012 - 2025), og skravert felt viser pluss/minus et standardavvik.

HØYRE: Beregnet (Stien mfl 2005) utslipp av luselarver (summert over alle anlegg som rapporterer i PO02) Det er ofte noen etternølere som rapporterer en uke eller to etter fristen. Derfor kan grafene se lit annerledes ut enn i forrige uke.

Støttefigurer:

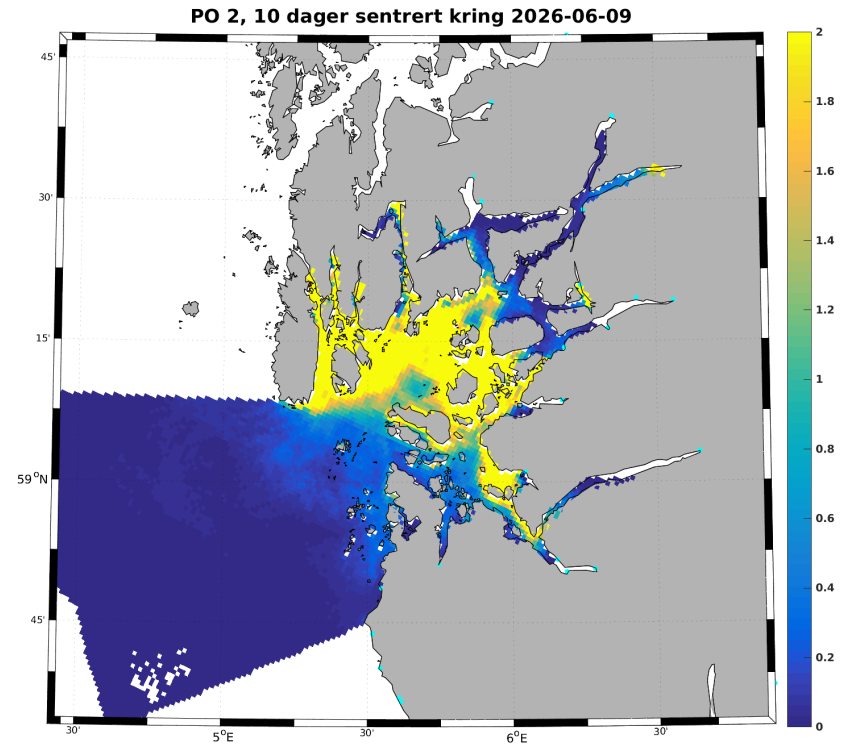
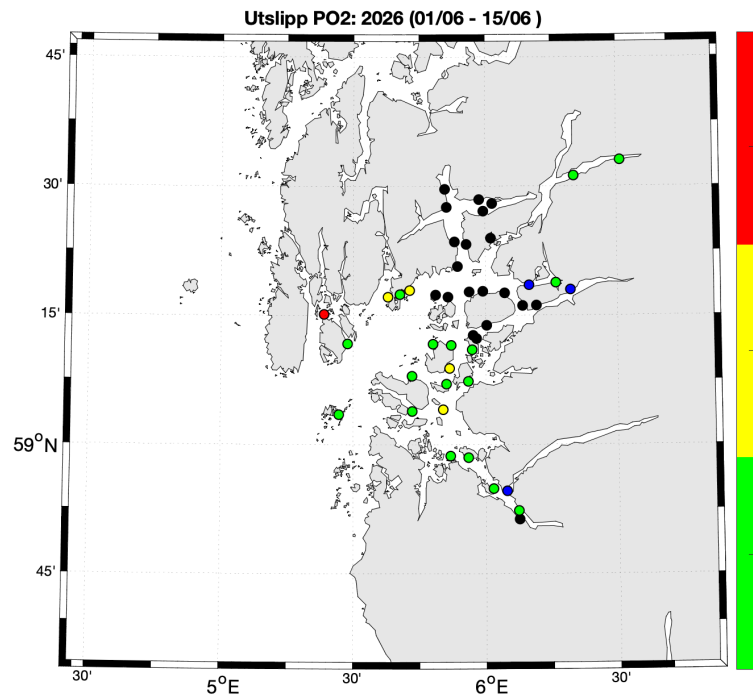
Sammen med vanntemperatur inngår antall fisk og antall voksne holus per fisk i formelen som benyttes til å estimere antall luselarver på forrige side (Stien mfl 2005)

$$N_{naup} = N_{fish} \cdot N_{female} \cdot 0.17 \cdot (T + 4.28)^2,$$



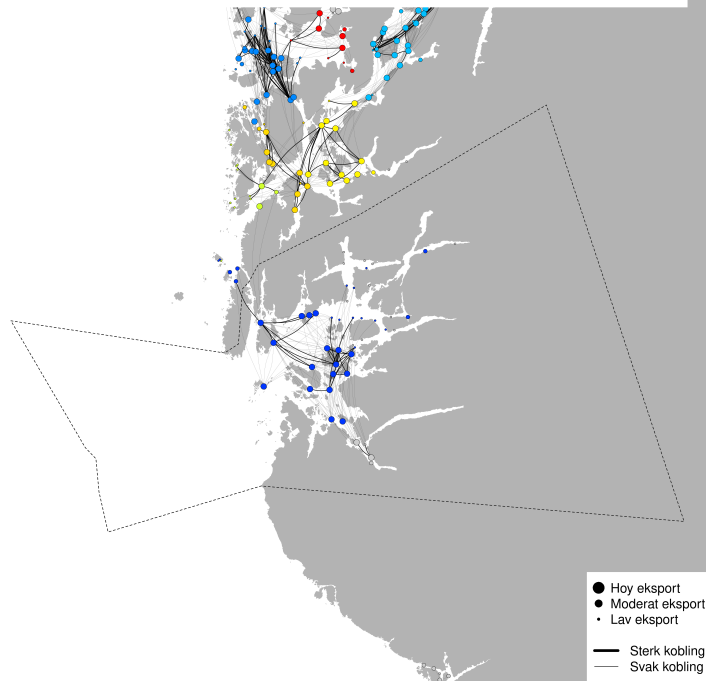
VENSTRE: Antall fisk (laks + regnbueørret) summert over alle anlegg i P002.

HØYRE: Totalt antall voksne holus i PO02(antall fisk * antall holus per fisk).



VENSTRE: Beregnet (Stien mfl 2005) utslipp av luselarver (millioner klekte egg per time) per anlegg, uke 23 → Blå anlegg har rapportert null lus. Sorte anlegg har enten ikke rapportert, eller blitt brakklagt ila 2025. Anlegg uten rapporteringer i 2025 er ikke tatt med. Fargeskalaen er relativ, og viser bare innbyrdes variasjon!
 HØYRE: Tetthet av smittsomme lakseluslarver (per kvadratmeter), beregnet med Havforskningsinstituttet sin lakselusmodell.

PO2 - Modellert konektivitet i perioden 2026-06-04 - 2026-06-14



VENSTRE: Smitte av lakselus-koepoditter mellom lokaliteter.

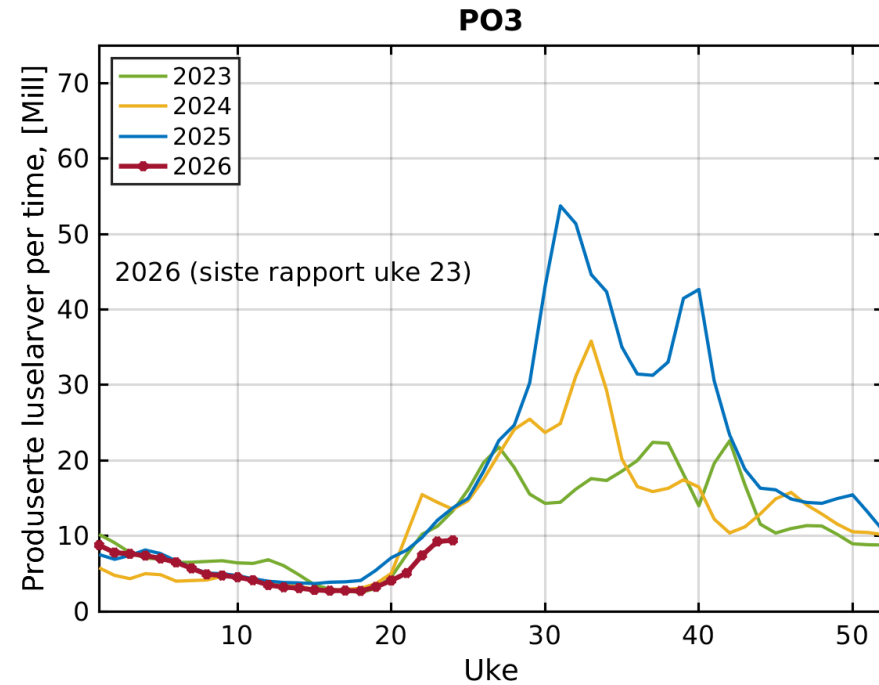
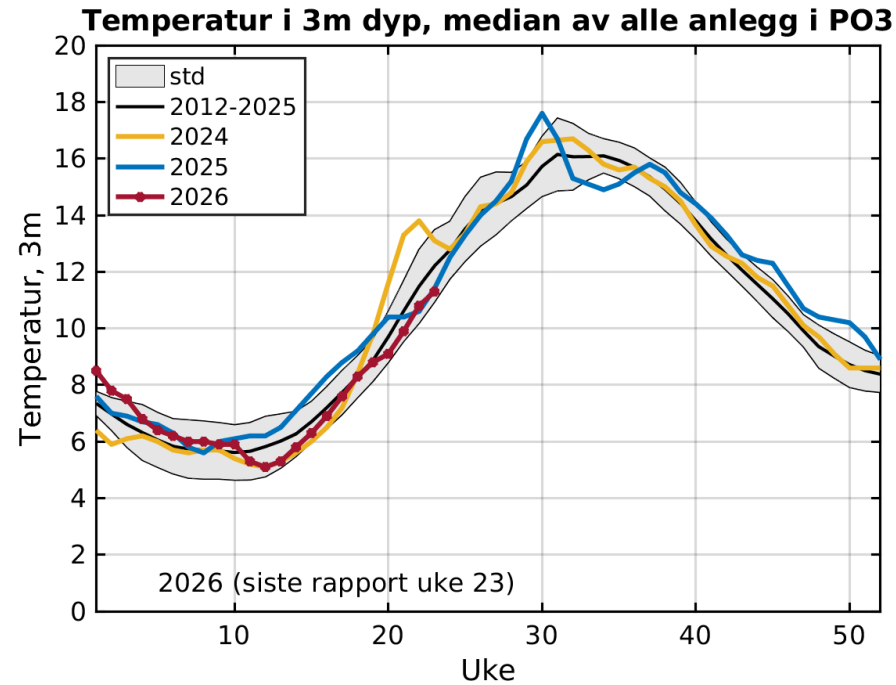
Fargene viser hvilke lokaliteter som blir definert til å ligge i samme smitte-nettverk (klynge) i den gjeldende perioden. Størrelsen på sirklene er rangert etter samlet eksport fra lokaliteten (store sirklere = stor eksport), basert på landsdekkende estimater for den gjeldende perioden. Tykke linjer (koblinger) viser stor transport og tynne linjer viser lavere transport. Merk at de minste koblingene er utelatt for å gjøre figuren mer lesbar. Linjer som krummer med klokken viser eksport fra en lokalitet og linjer som krummer mot klokken viser import.

Metoden for å identifisere smitte-nettverkene er beskrevet i M.B.O Huserbråten, I.A. Johnsen, Seasonal temperature regulates network connectivity of salmon louse, ICES Journal of Marine Science, 2022;, fsac024. LENKE <https://doi.org/10.1093/icesjms/fsac024>

Se også [nyhetssak](#) fra HI.

PO3

Vurdering frem til uke 24: Da den siste observasjonen ble tatt i uke 23 var temperaturen litt under gjennomsnittet for de siste 14 år. Antall produserte luselarver (summert over alle anlegg som rapporterer i PO03) ligger i uke 23 under nivået som var i 2025.



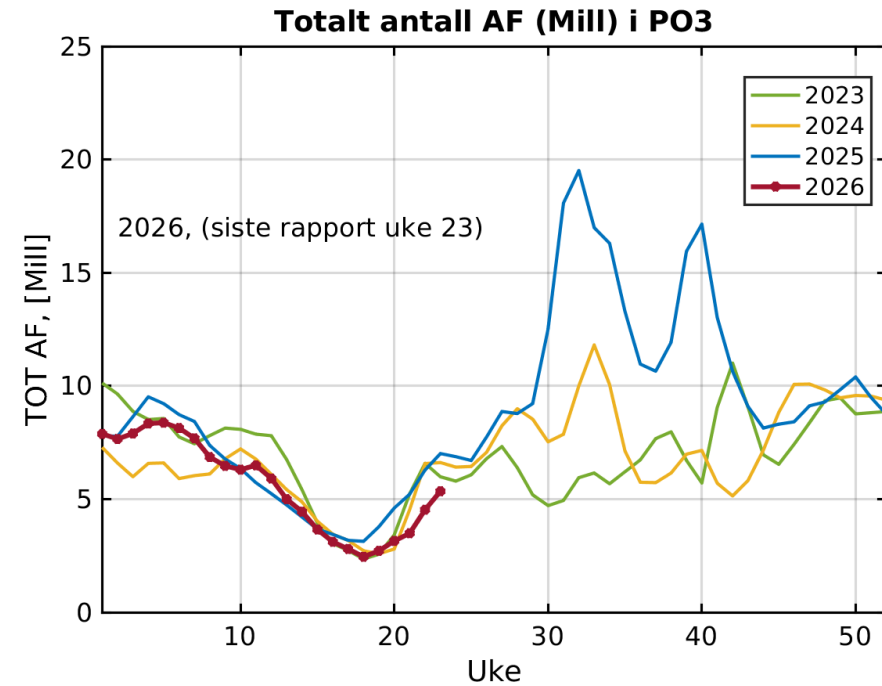
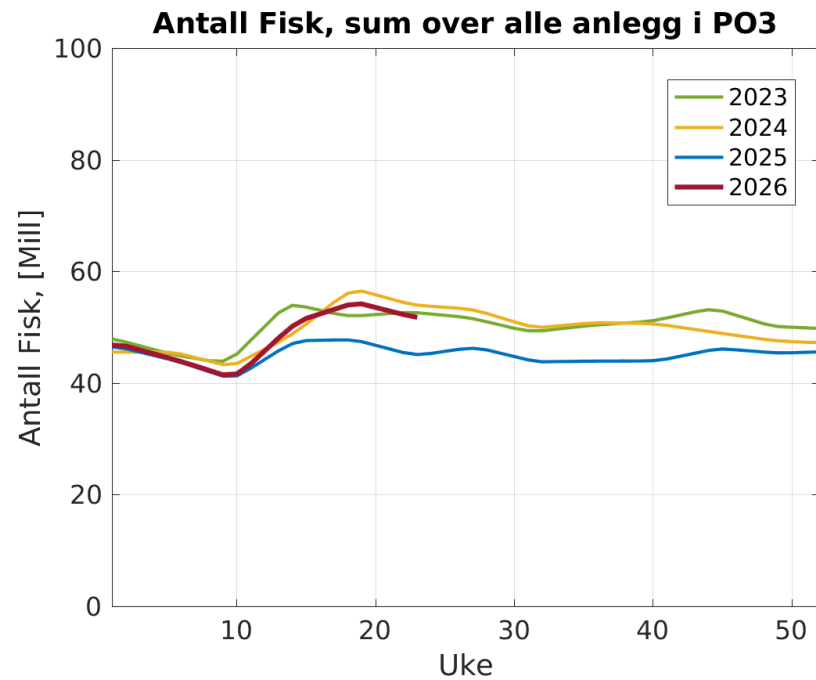
VENSTRE: Observert temperatur i 3m dyp. Sort linje viser middelverdien (2012 - 2025), og skravert felt viser pluss/minus et standardavvik.

HØYRE: Beregnet (Stien mfl 2005) utslipp av luselarver (summert over alle anlegg som rapporterer i PO03) Det er ofte noen etternølere som rapporterer en uke eller to etter fristen. Derfor kan grafene se litt annerledes ut enn i forrige uke.

Støttefigurer:

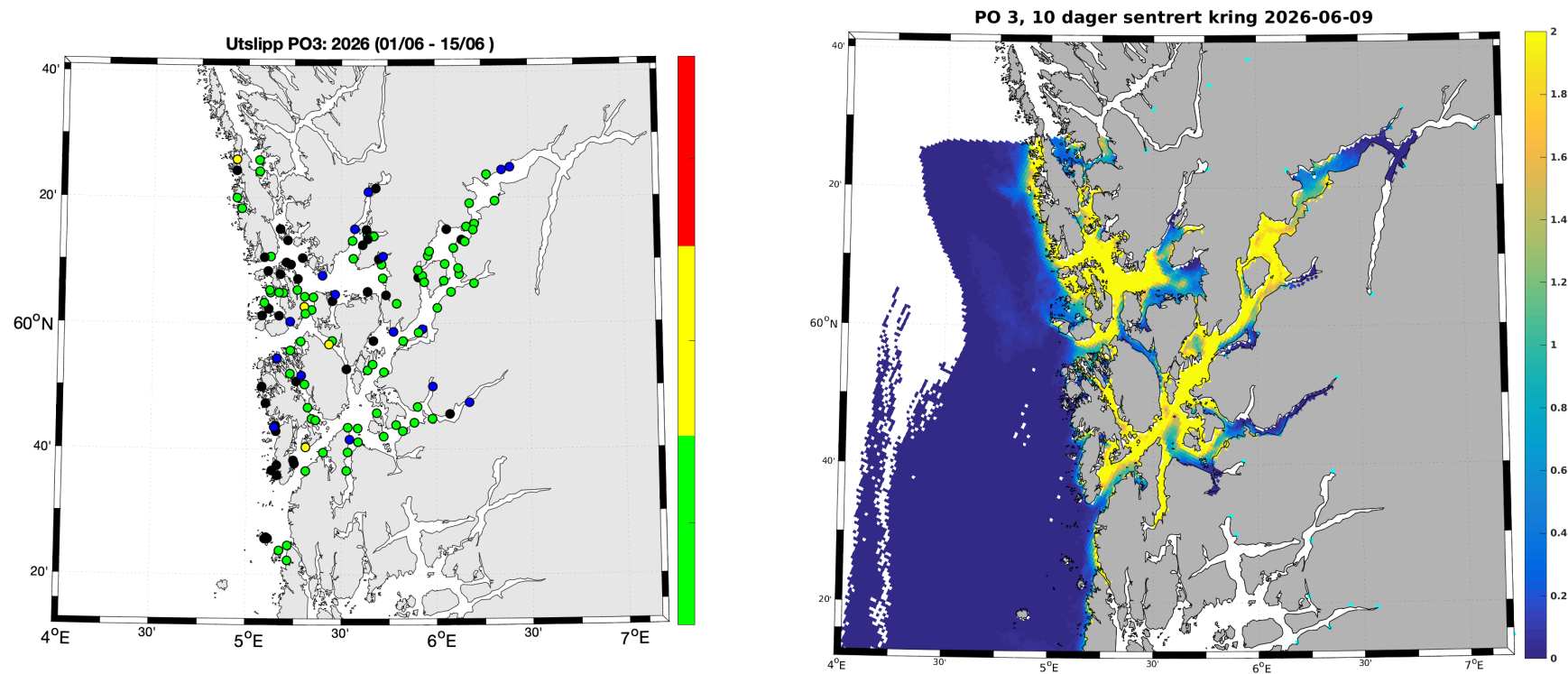
Sammen med vanntemperatur inngår antall fisk og antall voksne holus per fisk i formelen som benyttes til å estimere antall luselarver på forrige side (Stien mfl 2005)

$$N_{naup} = N_{fish} \cdot N_{female} \cdot 0.17 \cdot (T + 4.28)^2,$$



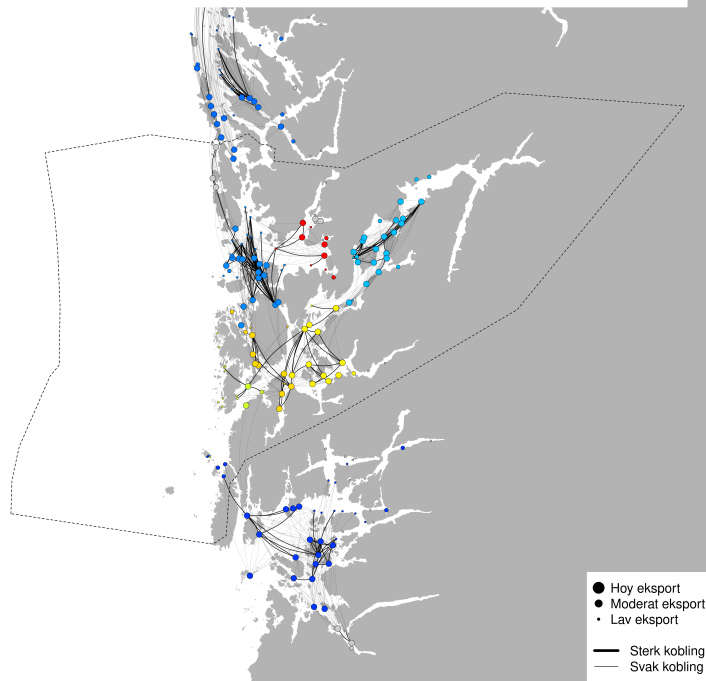
VENSTRE: Antall fisk (laks + regnbueørret) summert over alle anlegg i P003.

HØYRE: Totalt antall voksne holus i PO03(antall fisk * antall holus per fisk).



VENSTRE: Beregnet (Stien mfl 2005) utslipp av luselarver (millioner klekte egg per time) per anlegg, uke 23 → Blå anlegg har rapportert null lus. Sorte anlegg har enten ikke rapportert, eller blitt brakklagt ila 2025. Anlegg uten rapporteringer i 2025 er ikke tatt med. Fargeskalaen er relativ, og viser bare innbyrdes variasjon!
 HØYRE: Tetthet av smittsomme lakseluslarver (per kvadratmeter), beregnet med Havforskningsinstituttet sin lakselusmodell.

PO3 - Modellert konektivitet i perioden 2026-06-04 - 2026-06-14



VENSTRE: Smitte av lakselus-koepoditter mellom lokaliteter.

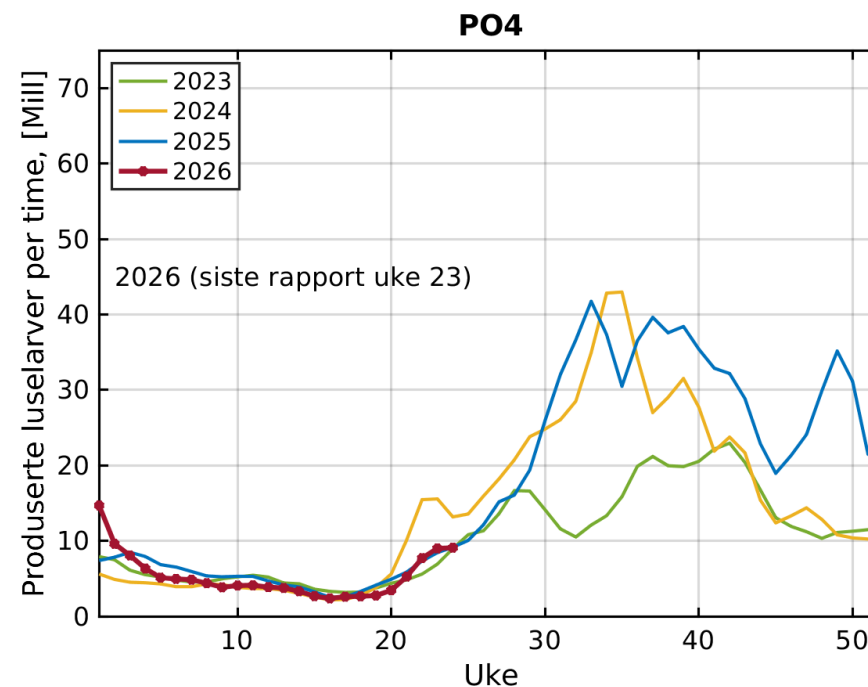
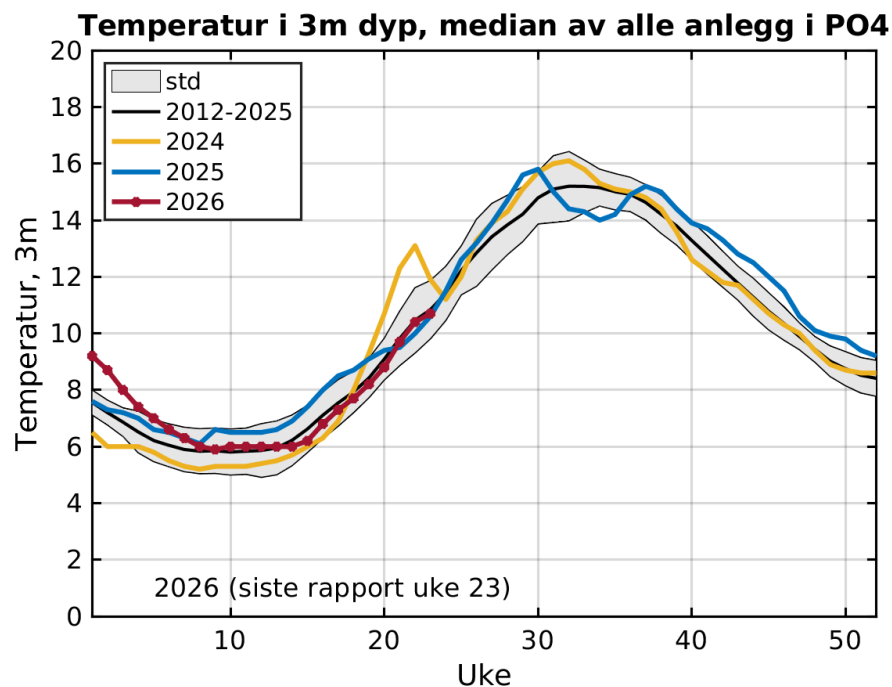
Fargene viser hvilke lokaliteter som blir definert til å ligge i samme smitte-nettverk (klynge) i den gjeldende perioden. Størrelsen på sirklene er rangert etter samlet eksport fra lokaliteten (store sirklere = stor eksport), basert på landsdekkende estimater for den gjeldende perioden. Tykke linjer (koblinger) viser stor transport og tynne linjer viser lavere transport. Merk at de minste koblingene er utelatt for å gjøre figuren mer lesbar. Linjer som krummer med klokken viser eksport fra en lokalitet og linjer som krummer mot klokken viser import.

Metoden for å identifisere smitte-nettverkene er beskrevet i M.B.O Huserbråten, I.A. Johnsen, Seasonal temperature regulates network connectivity of salmon louse, ICES Journal of Marine Science, 2022;, fsac024. LENKE <https://doi.org/10.1093/icesjms/fsac024>

Se også [nyhetssak](#) fra HI.

PO4

Vurdering frem til uke 24: Da den siste observasjonen ble tatt i uke 23 var temperaturen om lag som gjennomsnittet for de siste 14 år. Antall produserte luselarver (summert over alle anlegg som rapporterer i PO4) ligger om lag som i 2025.



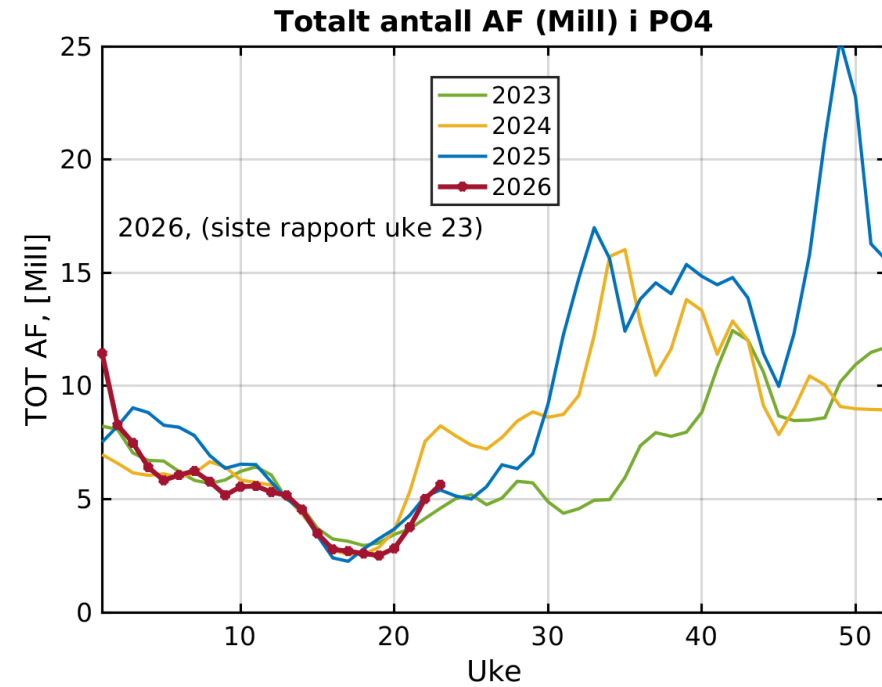
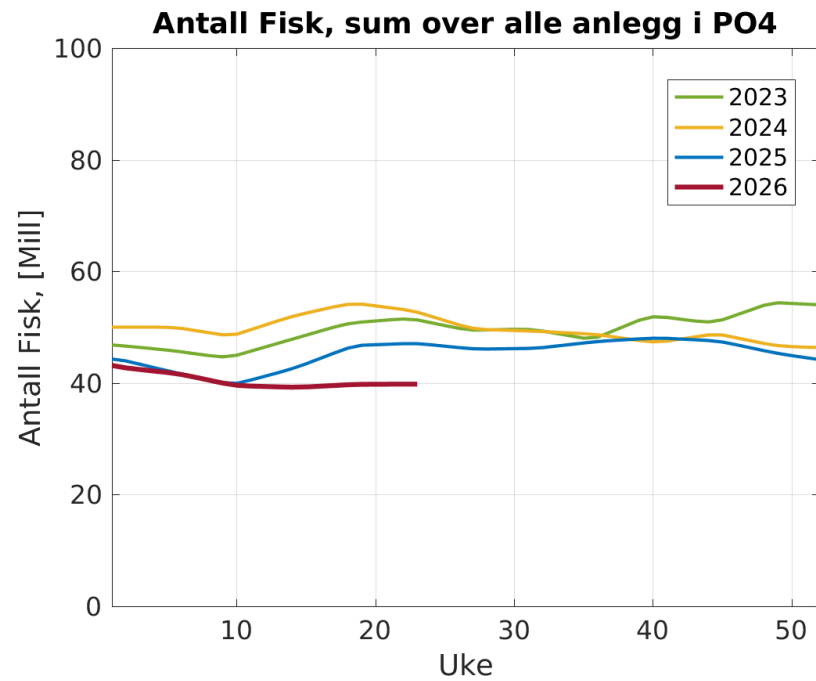
VENSTRE: Observert temperatur i 3m dyp. Sort linje viser middelverdien (2012 - 2025), og skravert felt viser pluss/minus et standardavvik.

HØYRE: Beregnet (Stien mfl 2005) utslipp av luselarver (summert over alle anlegg som rapporterer i PO4) Det er ofte noen etternølere som rapporterer en uke eller to etter fristen. Derfor kan grafene se litt annerledes ut enn i forrige uke.

Støttefigurer:

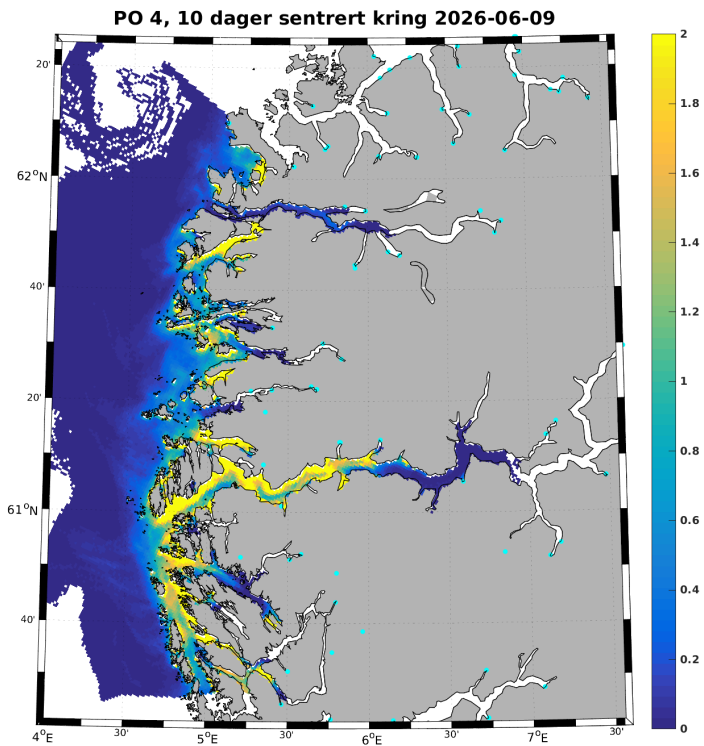
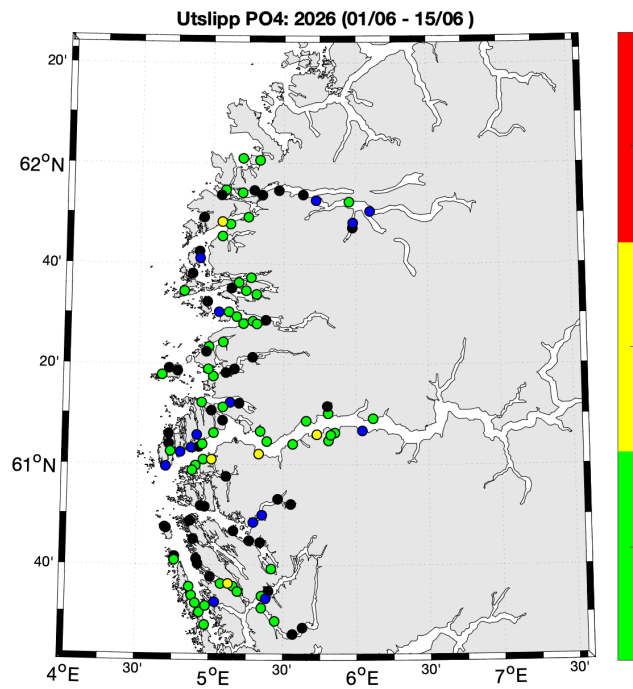
Sammen med vanntemperatur inngår antall fisk og antall voksne holus per fisk i formelen som benyttes til å estimere antall luselarver på forrige side (Stien mfl 2005)

$$N_{naup} = N_{fish} \cdot N_{female} \cdot 0.17 \cdot (T + 4.28)^2,$$



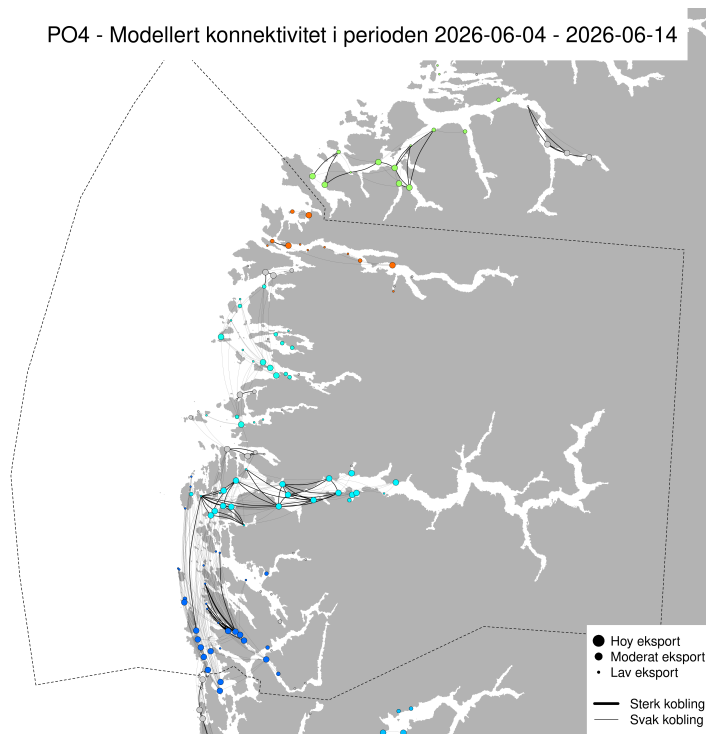
VENSTRE: Antall fisk (laks + regnbueørret) summert over alle anlegg i P004.

HØYRE: Totalt antall voksne holus i PO04(antall fisk * antall holus per fisk).



VENSTRE: Beregnet (Stien mfl 2005) utslipp av luselarver (millioner klekte egg per time) per anlegg, uke 23 → Blå anlegg har rapportert null lus. Sorte anlegg har enten ikke rapportert, eller blitt brakklagt ila 2025. Anlegg uten rapporteringer i 2025 er ikke tatt med. Fargeskalaen er relativ, og viser bare innbyrdes variasjon!

HØYRE: Tetthet av smittsomme lakseluslarver (per kvadratmeter), beregnet med Havforskningsinstituttet sin lakselusmodell. HØYRE:



VENSTRE: Smitte av lakselus-koepoditter mellom lokaliteter.

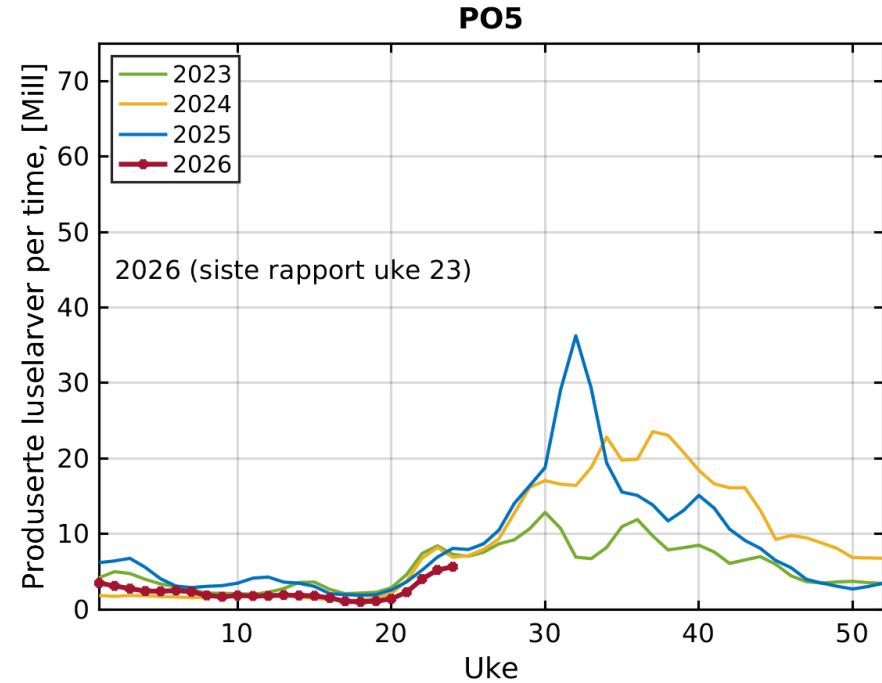
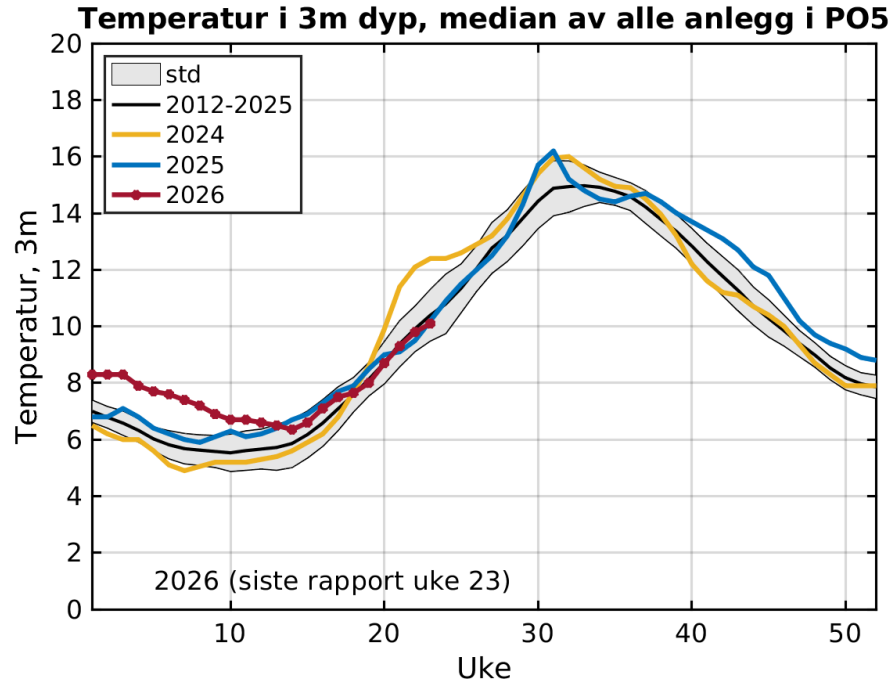
Fargene viser hvilke lokaliteter som blir definert til å ligge i samme smitte-nettverk (klynge) i den gjeldende perioden. Størrelsen på sirklene er rangert etter samlet eksport fra lokaliteten (store sirklere = stor eksport), basert på landsdekkende estimater for den gjeldende perioden. Tykke linjer (koblinger) viser stor transport og tynne linjer viser lavere transport. Merk at de minste koblingene er utelatt for å gjøre figuren mer lesbar. Linjer som krummer med klokken viser eksport fra en lokalitet og linjer som krummer mot klokken viser import.

Metoden for å identifisere smitte-nettverkene er beskrevet i M.B.O Huserbråten, I.A. Johnsen, Seasonal temperature regulates network connectivity of salmon louse, ICES Journal of Marine Science, 2022;, fsac024. LENKE <https://doi.org/10.1093/icesjms/fsac024>

Se også [nyhetssak](#) fra HI.

PO5

Vurdering frem til uke 24: Da den siste observasjonen ble tatt i uke 23 var temperaturen om lag som gjennomsnittet for de siste 14 år. Antall produserte luselarver (summert over alle anlegg som rapporterer i PO5) ligger litt under nivået som var i 2025.



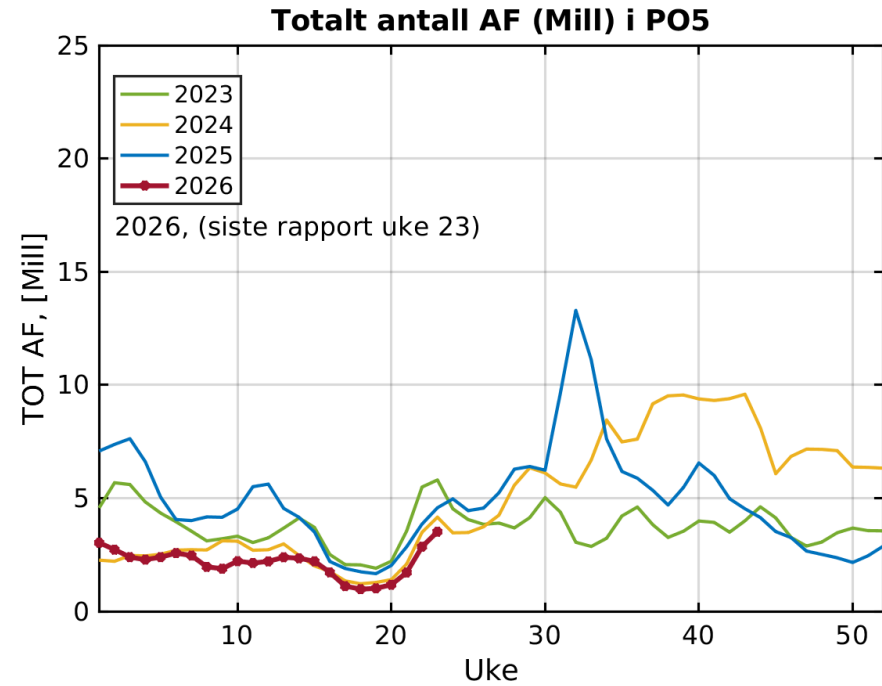
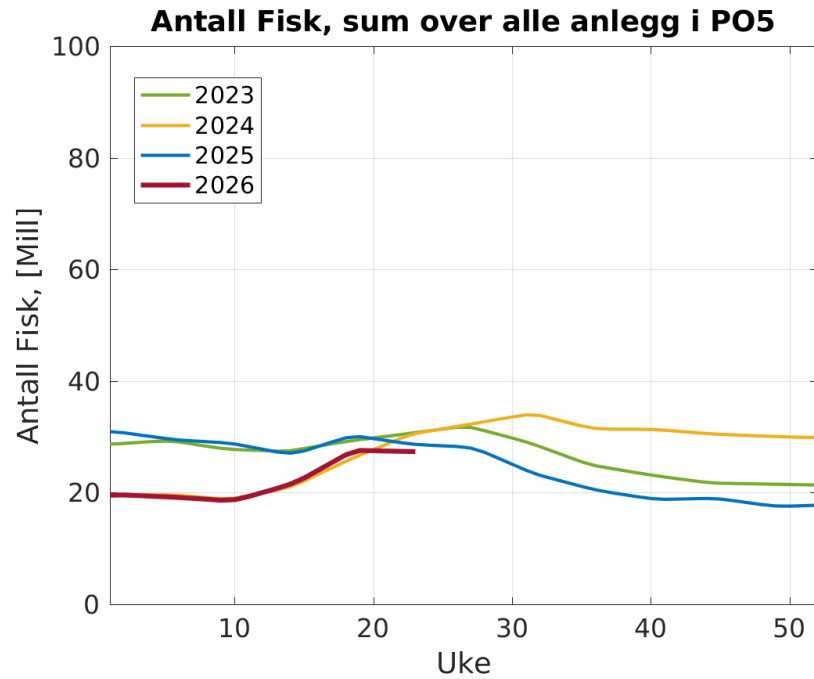
VENSTRE: Observert temperatur i 3m dyp. Sort linje viser middelverdien (2012 - 2025), og skravert felt viser pluss/minus et standardavvik.

HØYRE: Beregnet (Stien mfl 2005) utslipp av luselarver (summert over alle anlegg som rapporterer i PO5) Det er ofte noen etternølere som rapporterer en uke eller to etter fristen. Derfor kan grafene se litt annerledes ut enn i forrige uke.

Støttefigurer:

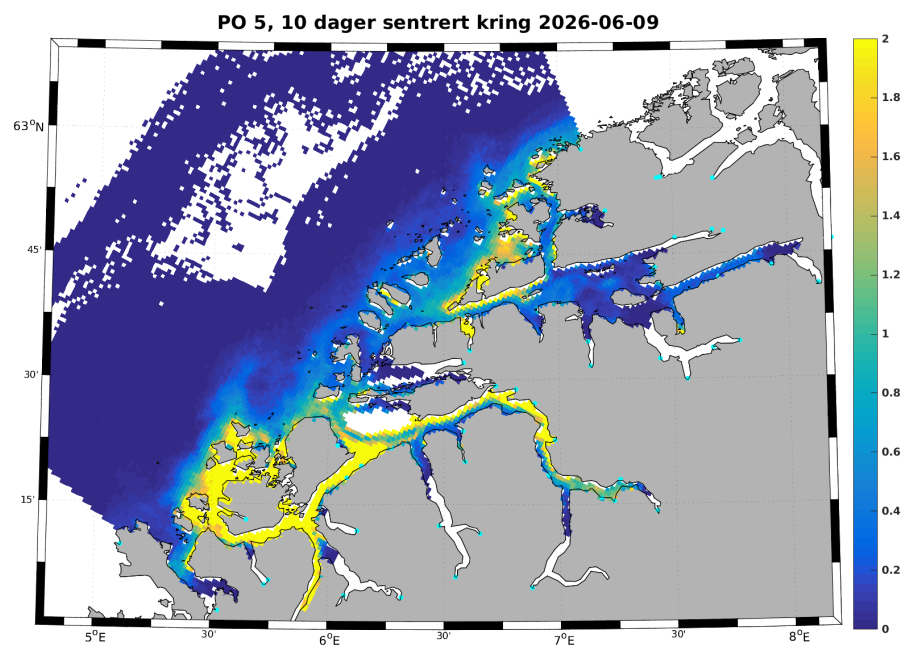
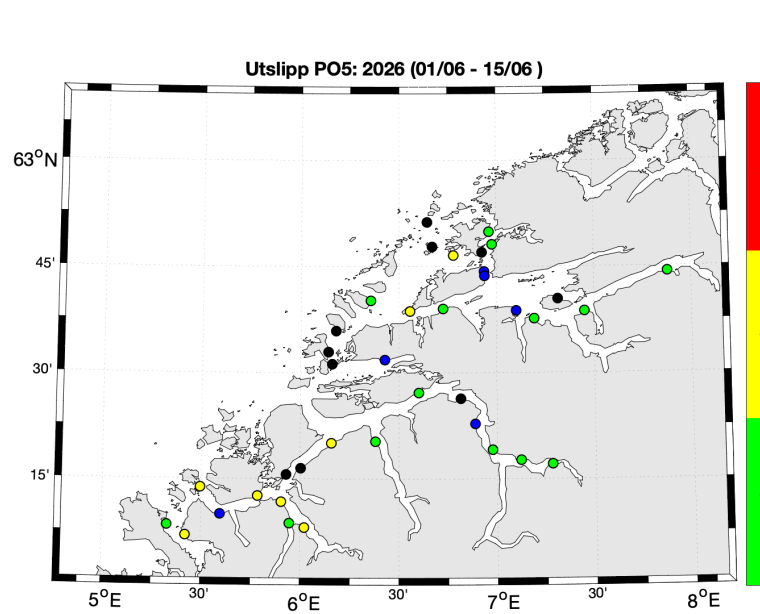
Sammen med vanntemperatur inngår antall fisk og antall voksne holus per fisk i formelen som benyttes til å estimere antall luselarver på forrige side (Stien mfl 2005)

$$N_{naup} = N_{fish} \cdot N_{female} \cdot 0.17 \cdot (T + 4.28)^2,$$



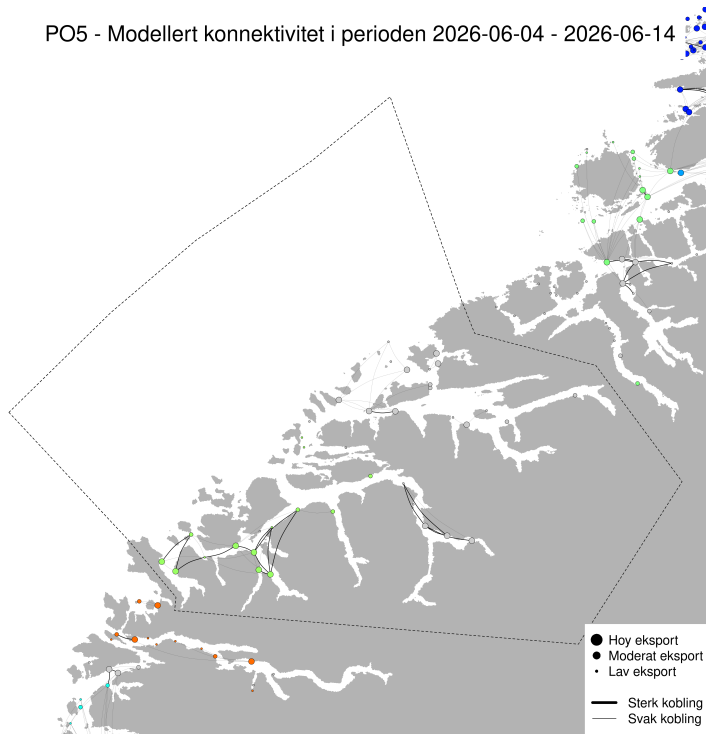
VENSTRE: Antall fisk (laks + regnbueørret) summert over alle anlegg i P005.

HØYRE: Totalt antall voksne holus i PO05(antall fisk * antall holus per fisk).



VENSTRE: Beregnet (Stien mfl 2005) utslipp av luselarver (millioner klekte egg per time) per anlegg, uke 23 → Blå anlegg har rapportert null lus. Sorte anlegg har enten ikke rapportert, eller blitt brakklagt ila 2025. Anlegg uten rapporteringer i 2025 er ikke tatt med. Fargeskalaen er relativ, og viser bare innbyrdes variasjon!
 HØYRE: Tetthet av smittsomme lakseluslarver (per kvadratmeter), beregnet med Havforskningsinstituttet sin lakselusmodell.

PO5 - Modellert konnektivitet i perioden 2026-06-04 - 2026-06-14



VENSTRE: Smitte av lakselus-koepoditter mellom lokaliteter.

Fargene viser hvilke lokaliteter som blir definert til å ligge i samme smitte-nettverk (klynge) i den gjeldende perioden. Størrelsen på sirklene er rangert etter samlet eksport fra lokaliteten (store sirklere = stor eksport), basert på landsdekkende estimater for den gjeldende perioden. Tykke linjer (koblinger) viser stor transport og tynne linjer viser lavere transport. Merk at de minste koblingene er utelatt for å gjøre figuren mer lesbar. Linjer som krummer med klokken viser eksport fra en lokalitet og linjer som krummer mot klokken viser import.

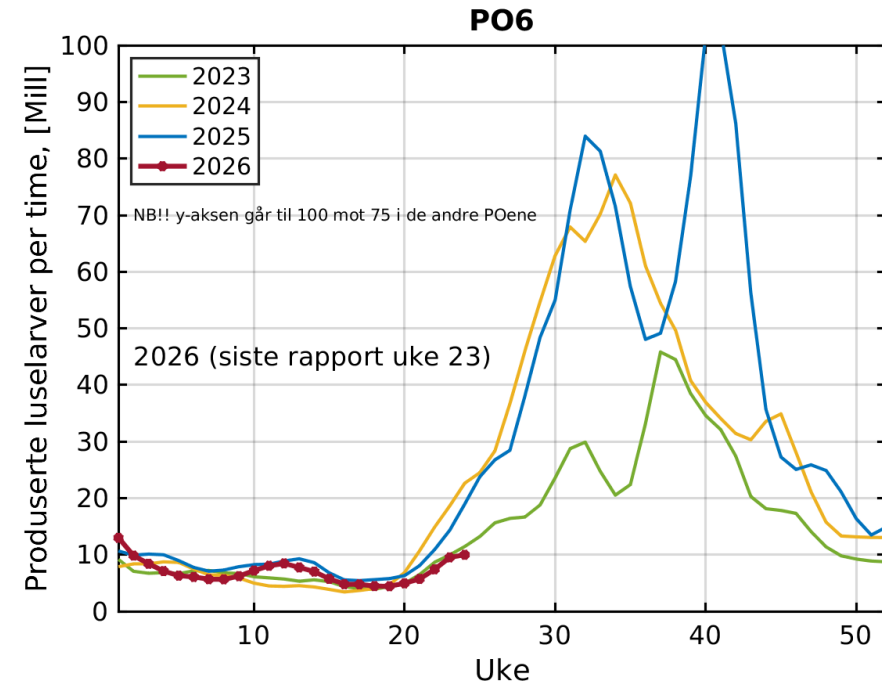
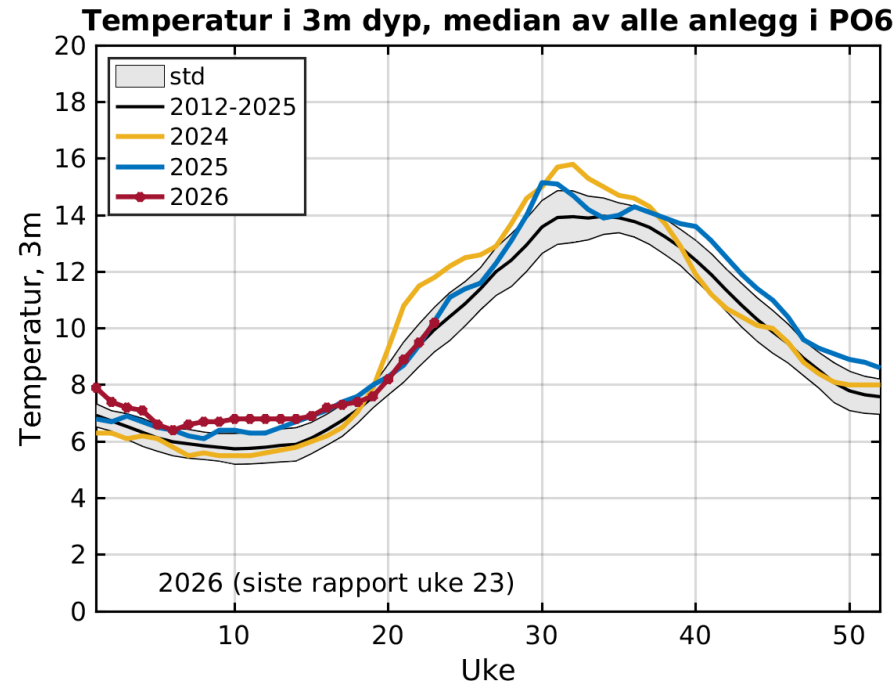
Metoden for å identifisere smitte-nettverkene er beskrevet i M.B.O Huserbråten, I.A. Johnsen, Seasonal temperature regulates network connectivity of salmon louse, ICES Journal of Marine Science, 2022;, fsac024. LENKE <https://doi.org/10.1093/icesjms/fsac024>

Se også [nyhetssak](#) fra HI.

PO6

Vurdering frem til uke 24: Vanntemperaturen ligger om lag som gjennomsnittet for de siste 14 år.

Antall produserte luselarver (summert over alle anlegg som rapporterer i PO6) ligger under nivået som var i 2025.



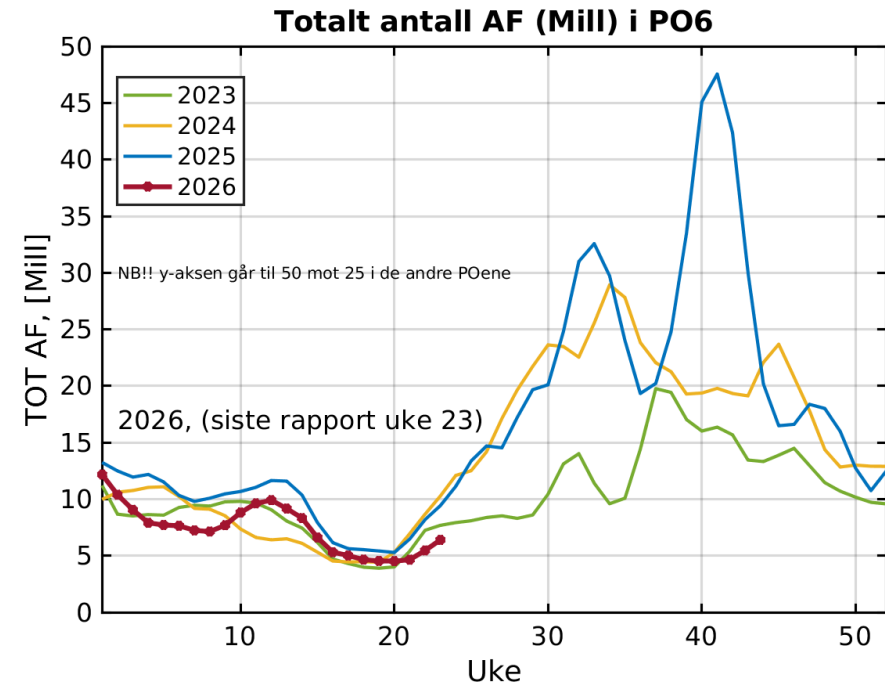
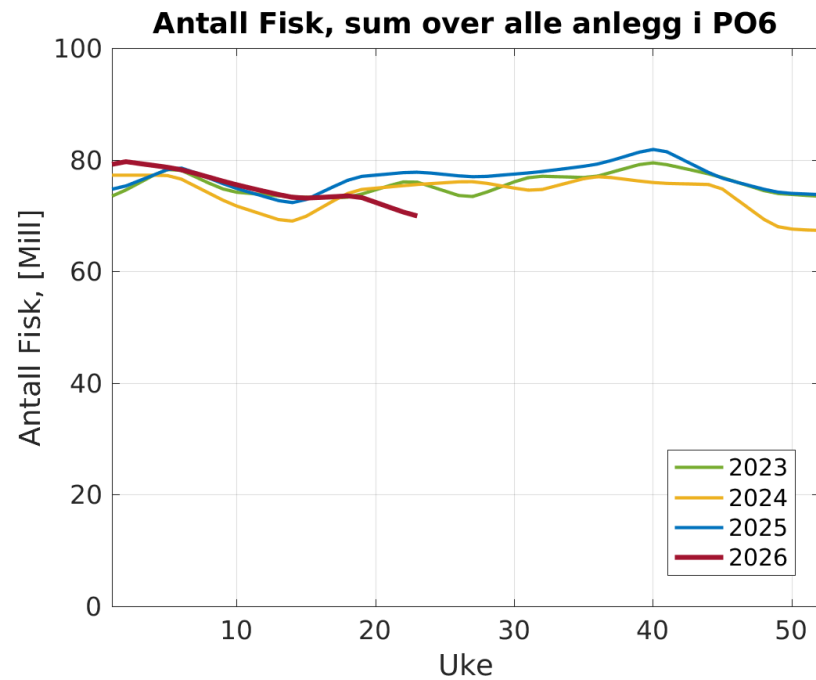
VENSTRE: Observert temperatur i 3m dyp. Sort linje viser middelverdien (2012 - 2025), og skravert felt viser pluss/minus et standardavvik.

HØYRE: Beregnet (Stien mfl 2005) utslipp av luselarver (summert over alle anlegg som rapporterer i PO6) Det er ofte noen etternølere som rapporterer en uke eller to etter fristen. Derfor kan grafene se litt annerledes ut enn i forrige uke.

Støttefigurer:

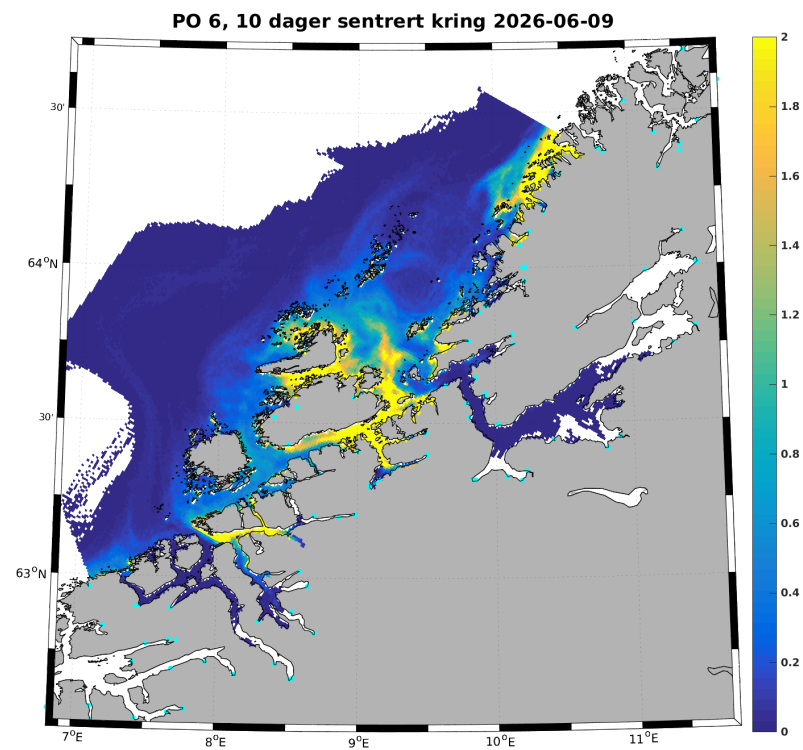
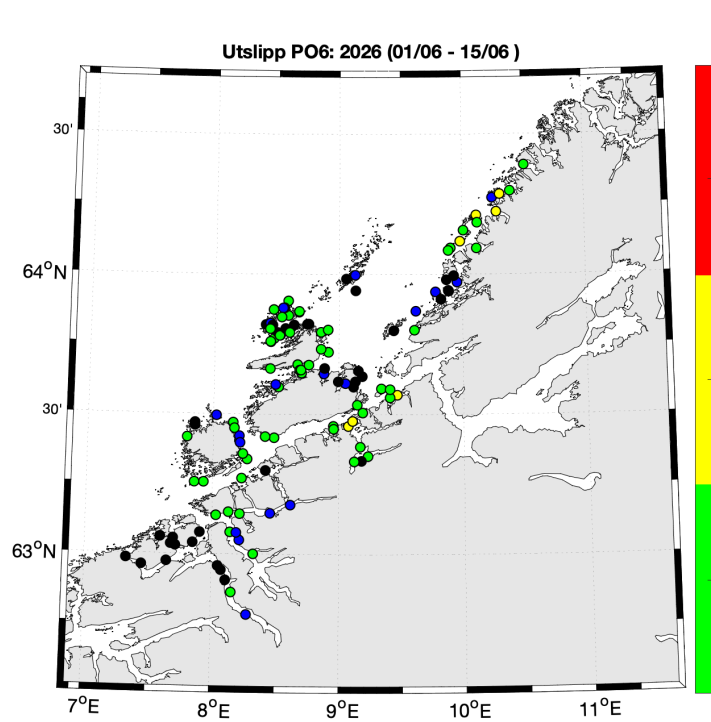
Sammen med vanntemperatur inngår antall fisk og antall voksne holus per fisk i formelen som benyttes til å estimere antall luselarver på forrige side (Stien mfl 2005)

$$N_{naup} = N_{fish} \cdot N_{female} \cdot 0.17 \cdot (T + 4.28)^2,$$



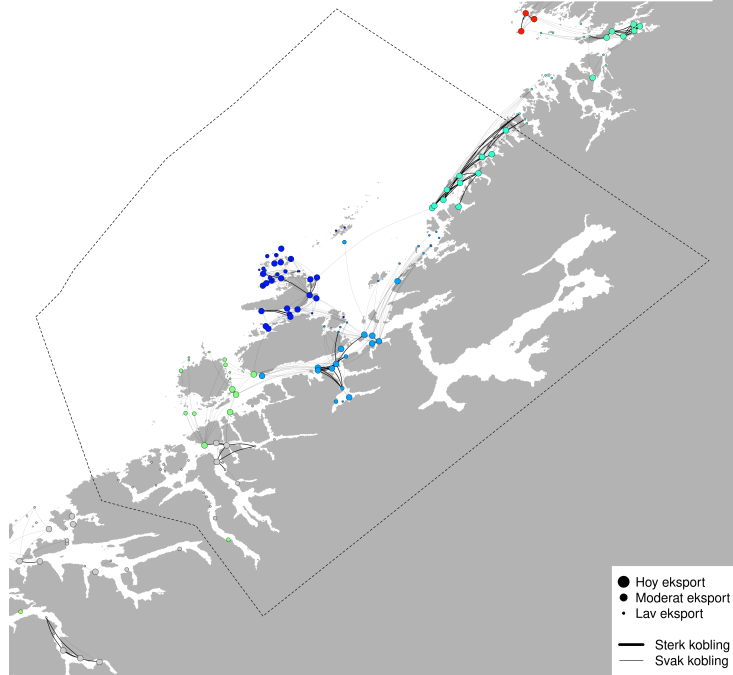
VENSTRE: Antall fisk (laks + regnbueørret) summert over alle anlegg i P006.

HØYRE: Totalt antall voksne holus i P006(antall fisk * antall holus per fisk).



VENSTRE: Beregnet (Stien mfl 2005) utslipp av luselarver (millioner klekte egg per time) per anlegg, uke 23 → Blå anlegg har rapportert null lus. Sorte anlegg har enten ikke rapportert, eller blitt brakklagt ila 2025. Anlegg uten rapporteringer i 2025 er ikke tatt med. Fargeskalaen er relativ, og viser bare innbyrdes variasjon!
 HØYRE: Tetthet av smittsomme lakseluslarver (per kvadratmeter), beregnet med Havforskningsinstituttet sin lakselusmodell.

PO6 - Modellert konnektivitet i perioden 2026-06-04 - 2026-06-14



VENSTRE: Smitte av lakselus-kopepoditter mellom lokaliteter.

Fargene viser hvilke lokaliteter som blir definert til å ligge i samme smitte-nettverk (klynge) i den gjeldende perioden. Størrelsen på sirklene er rangert etter samlet eksport fra lokaliteten (store sirklere = stor eksport), basert på landsdekkende estimater for den gjeldende perioden. Tykke linjer (koblinger) viser stor transport og tynne linjer viser lavere transport. Merk at de minste koblingene er utelatt for å gjøre figuren mer lesbar. Linjer som krummer med klokken viser eksport fra en lokalitet og linjer som krummer mot klokken viser import.

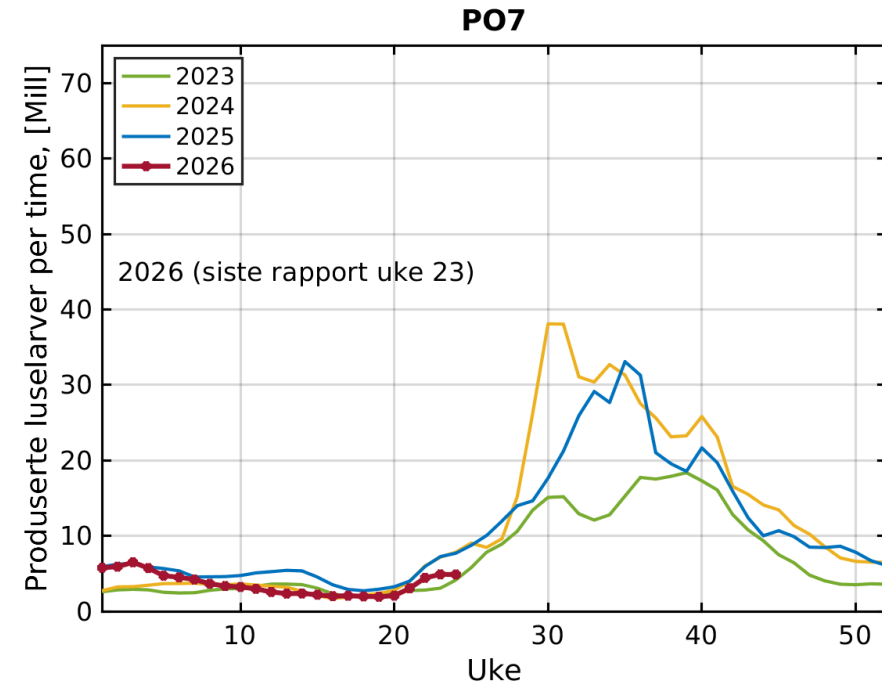
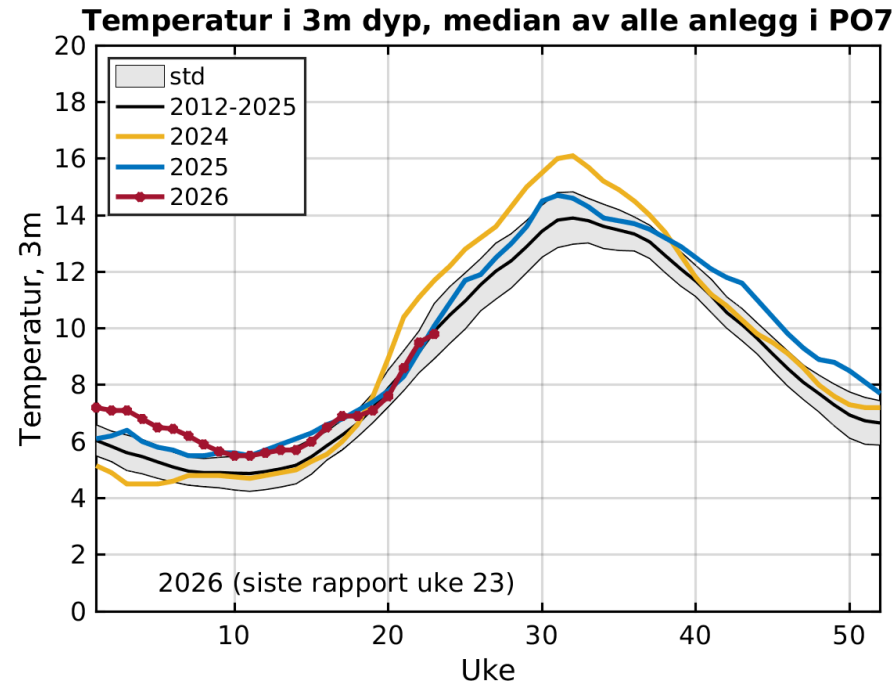
Metoden for å identifisere smitte-nettverkene er beskrevet i M.B.O Huserbråten, I.A. Johnsen, Seasonal temperature regulates network connectivity of salmon louse, ICES Journal of Marine Science, 2022;, fsac024. LENKE <https://doi.org/10.1093/icesjms/fsac024>

Se også [nyhetssak](#) fra HI.

PO7

Vurdering frem til uke 24: Vanntemperaturen ligger om lag som gjennomsnittet for de siste 14 år.

Antall produserte luselarver (summert over alle anlegg som rapporterer i PO7) ligger litt under nivået som var i 2025.



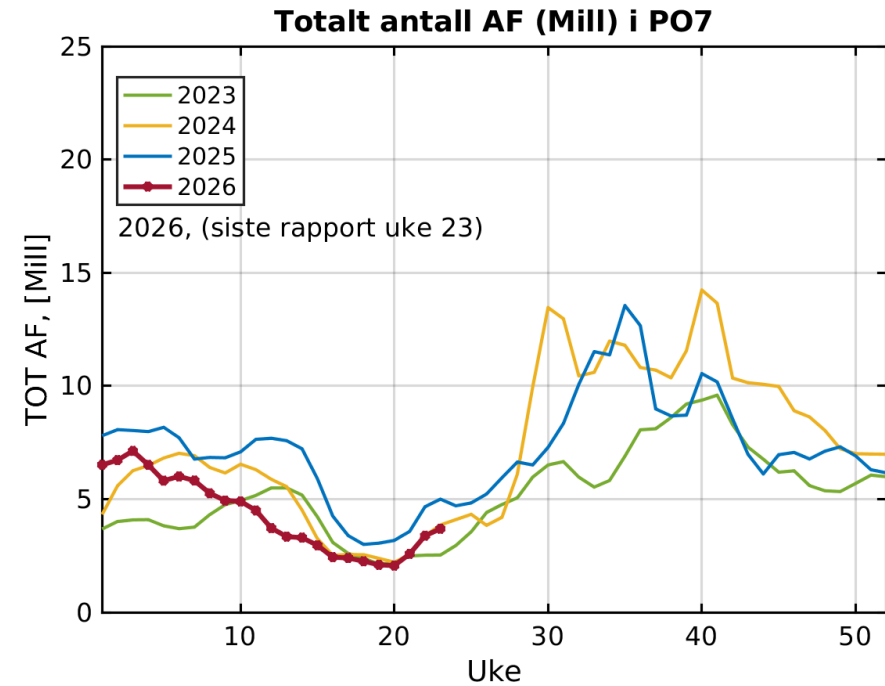
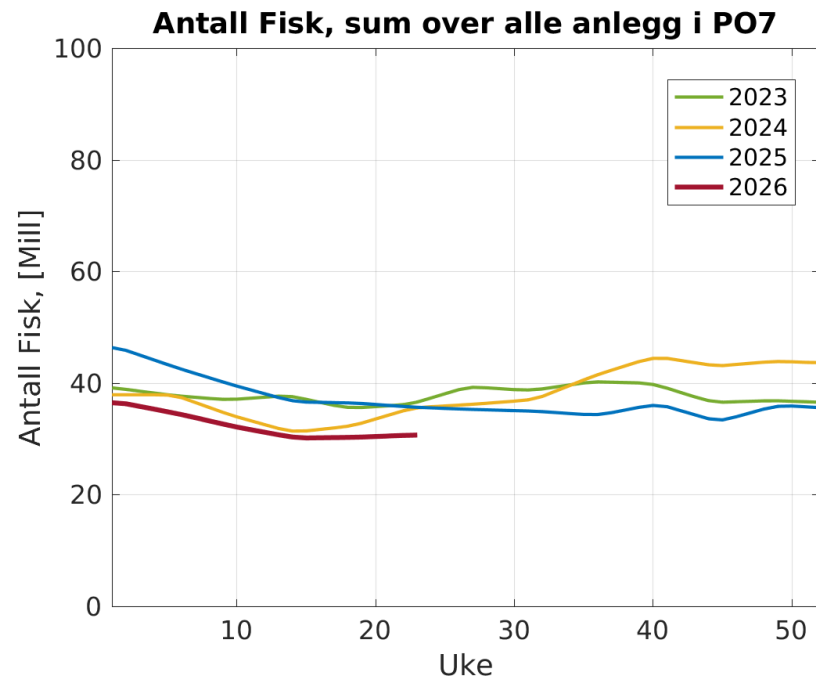
VENSTRE: Observert temperatur i 3m dyp. Sort linje viser middelverdien (2012 - 2025), og skravert felt viser pluss/minus et standardavvik.

HØYRE: Beregnet (Stien mfl 2005) utslipp av luselarver (summert over alle anlegg som rapporterer i PO7) Det er ofte noen etternølere som rapporterer en uke eller to etter fristen. Derfor kan grafene se litt annerledes ut enn i forrige uke.

Støttefigurer:

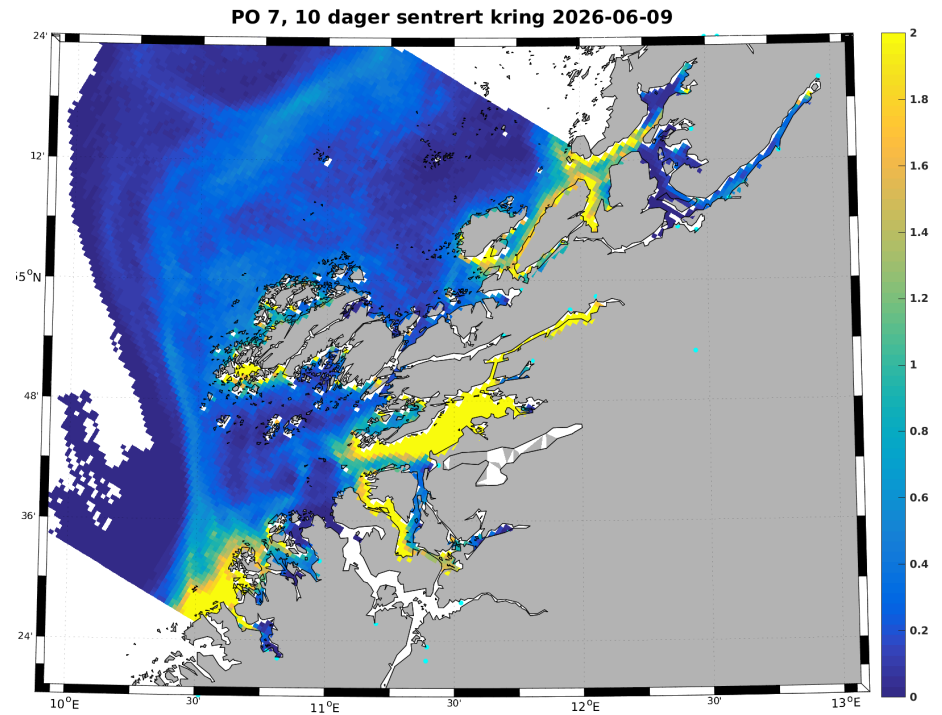
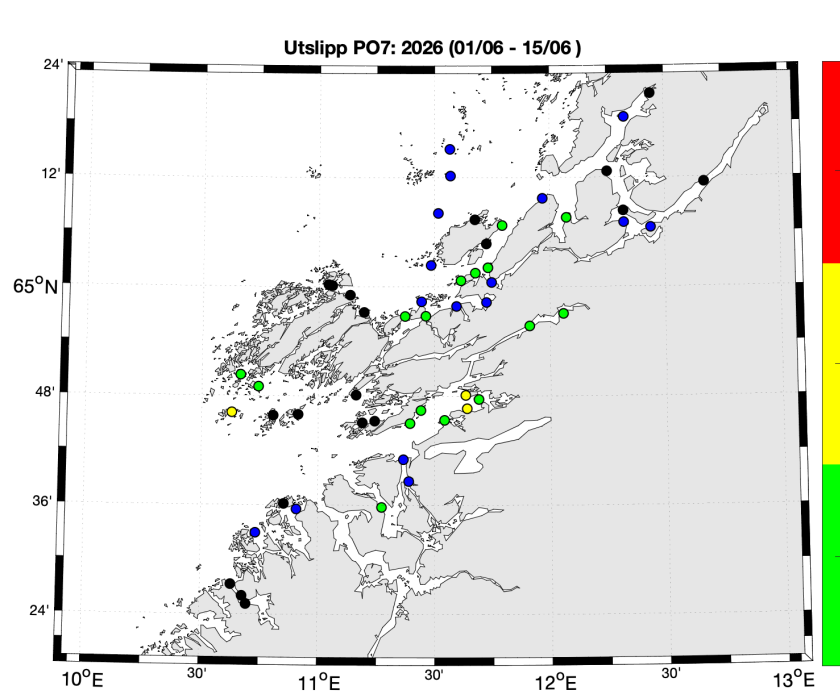
Sammen med vanntemperatur inngår antall fisk og antall voksne holus per fisk i formelen som benyttes til å estimere antall luselarver på forrige side (Stien mfl 2005)

$$N_{naup} = N_{fish} \cdot N_{female} \cdot 0.17 \cdot (T + 4.28)^2,$$



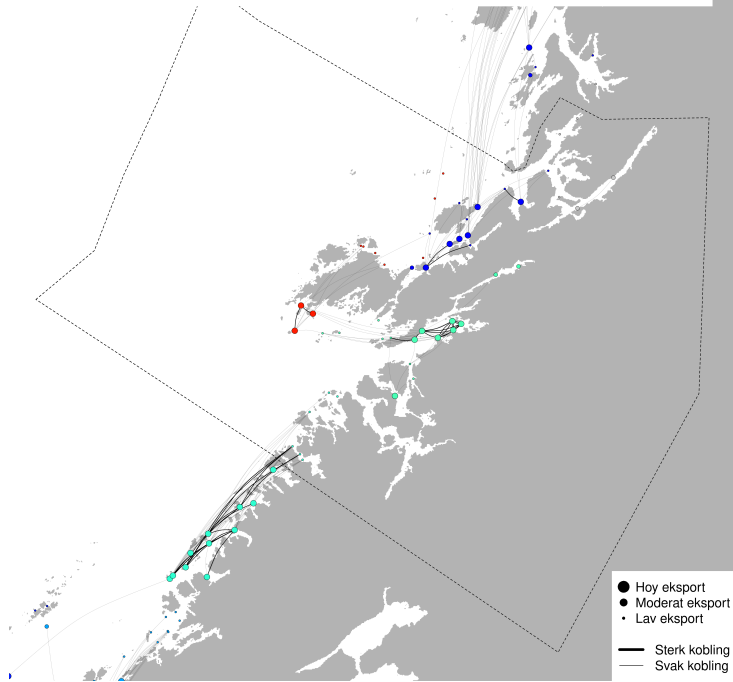
VENSTRE: Antall fisk (laks + regnbueørret) summert over alle anlegg i PO07.

HØYRE: Totalt antall voksne holus i PO07(antall fisk * antall holus per fisk).



VENSTRE: Beregnet (Stien mfl 2005) utslipp av luselarver (millioner klekte egg per time) per anlegg, uke 23 → Blå anlegg har rapportert null lus. Sorte anlegg har enten ikke rapportert, eller blitt brakklagt i 2025. Anlegg uten rapporteringer i 2025 er ikke tatt med. Fargeskalaen er relativ, og viser bare innbyrdes variasjon!
 HØYRE: Tetthet av smittsomme lakseluslarver (per kvadratmeter), beregnet med Havforskningsinstituttet sin lakselusmodell.

PO7 - Modellert konnektivitet i perioden 2026-06-04 - 2026-06-14



VENSTRE: Smitte av lakselus-koepoditter mellom lokaliteter.

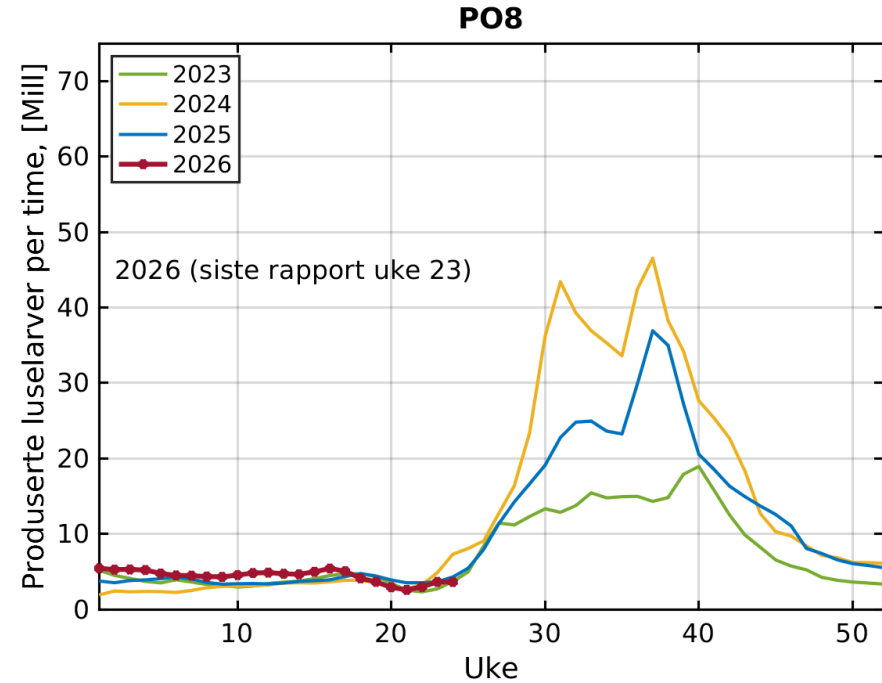
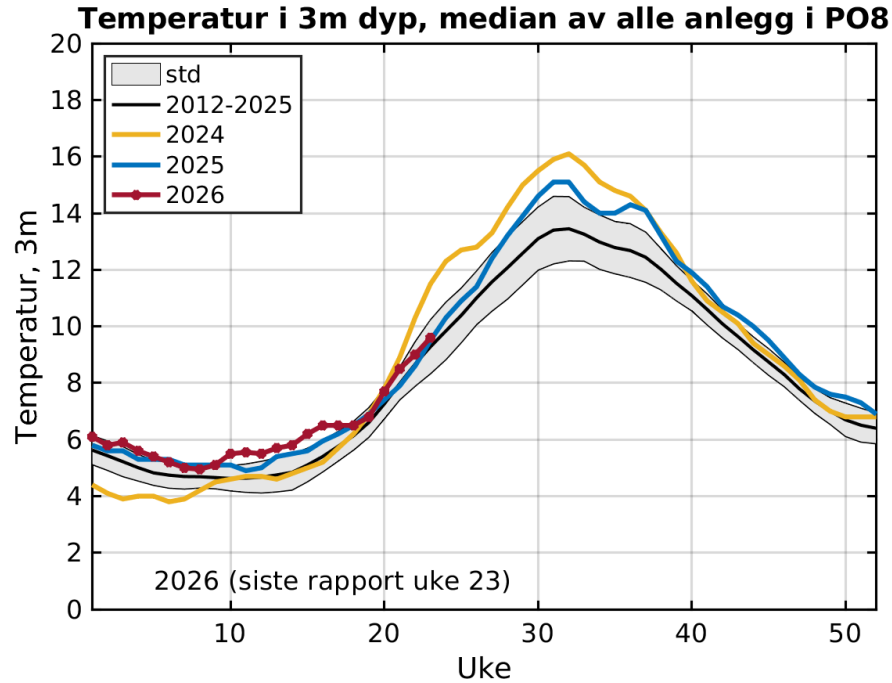
Fargene viser hvilke lokaliteter som blir definert til å ligge i samme smitte-nettverk (klynge) i den gjeldende perioden. Størrelsen på sirklene er rangert etter samlet eksport fra lokaliteten (store sirklere = stor eksport), basert på landsdekkende estimater for den gjeldende perioden. Tykke linjer (koblinger) viser stor transport og tynne linjer viser lavere transport. Merk at de minste koblingene er utelatt for å gjøre figuren mer lesbar. Linjer som krummer med klokken viser eksport fra en lokalitet og linjer som krummer mot klokken viser import.

Metoden for å identifisere smitte-nettverkene er beskrevet i M.B.O Huserbråten, I.A. Johnsen, Seasonal temperature regulates network connectivity of salmon louse, ICES Journal of Marine Science, 2022;, fsac024. LENKE <https://doi.org/10.1093/icesjms/fsac024>

Se også [nyhetssak](#) fra HI.

PO8

Vurdering frem til uke 24: Vanntemperaturen ligger om lag som gjennomsnittet for de siste 14 år.
Antall produserte luselarver (summert over alle anlegg som rapporterer i PO8) ligger om lag som i 2025.



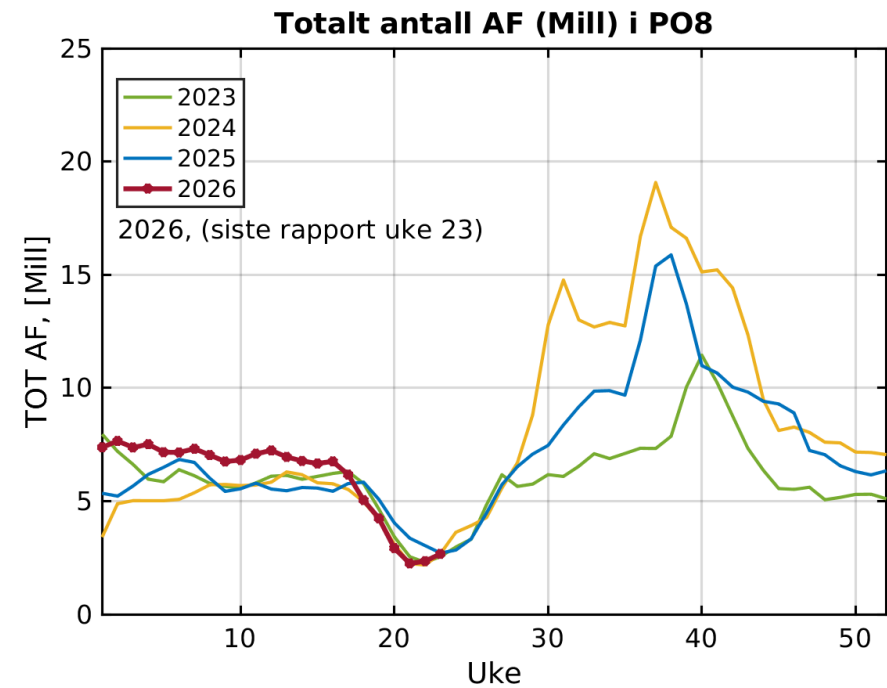
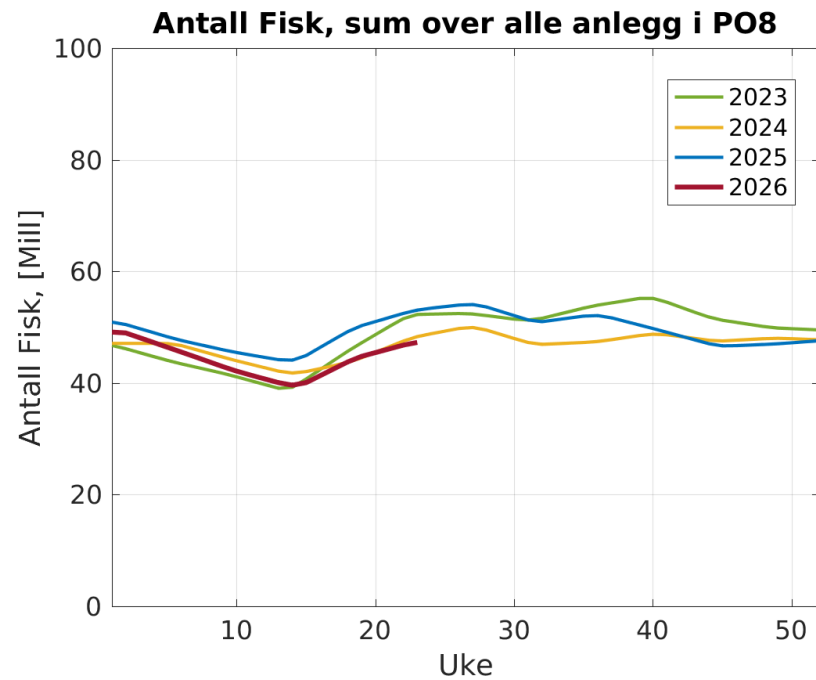
VENSTRE: Observert temperatur i 3m dyp. Sort linje viser middelverdien (2012 - 2025), og skravert felt viser pluss/minus et standardavvik.

HØYRE: Beregnet (Stien mfl 2005) utslipp av luselarver (summert over alle anlegg som rapporterer i PO8) Det er ofte noen etternølere som rapporterer en uke eller to etter fristen. Derfor kan grafene se litt annerledes ut enn i forrige uke.

Støttefigurer:

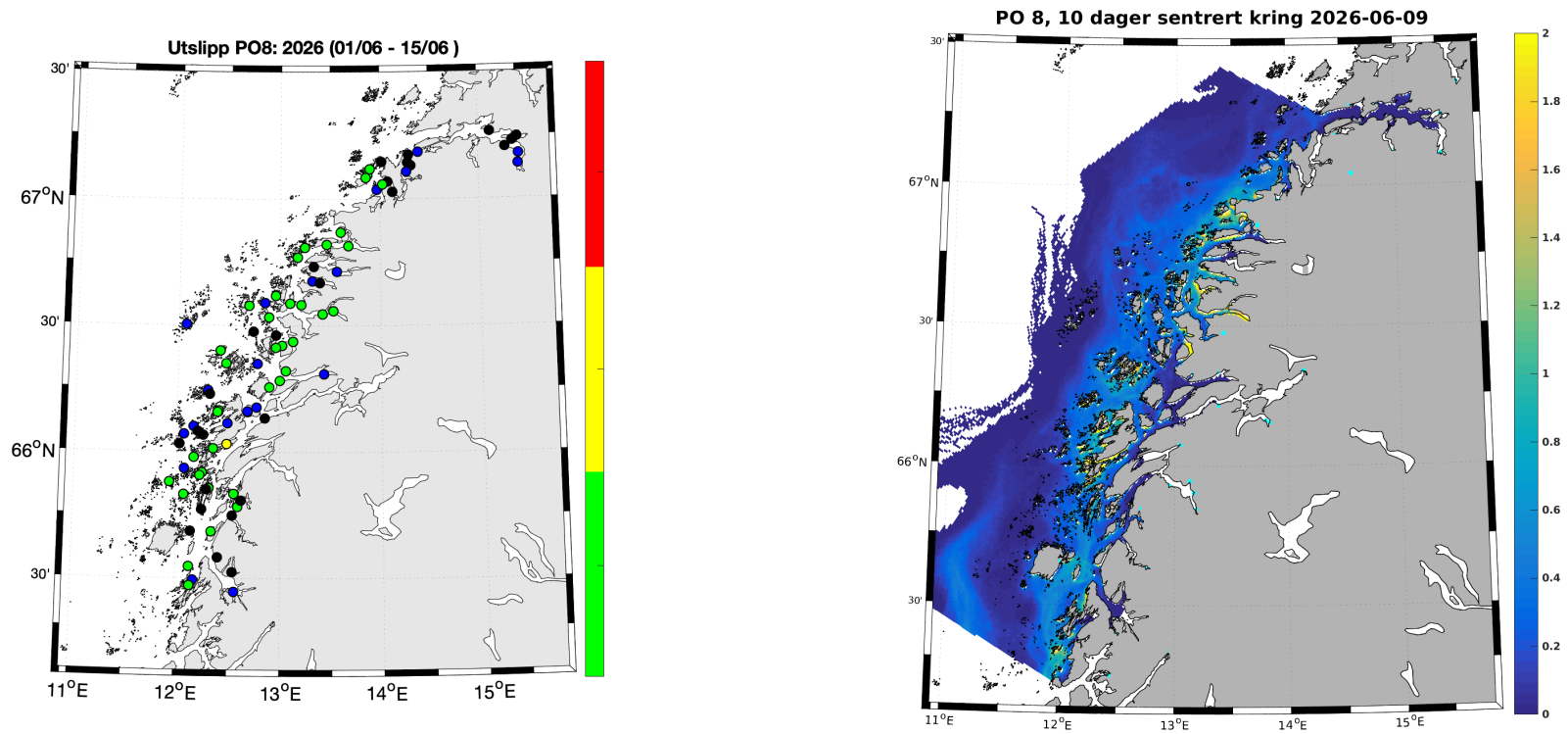
Sammen med vanntemperatur inngår antall fisk og antall voksne holus per fisk i formelen som benyttes til å estimere antall luselarver på forrige side (Stien mfl 2005)

$$N_{naup} = N_{fish} \cdot N_{female} \cdot 0.17 \cdot (T + 4.28)^2,$$



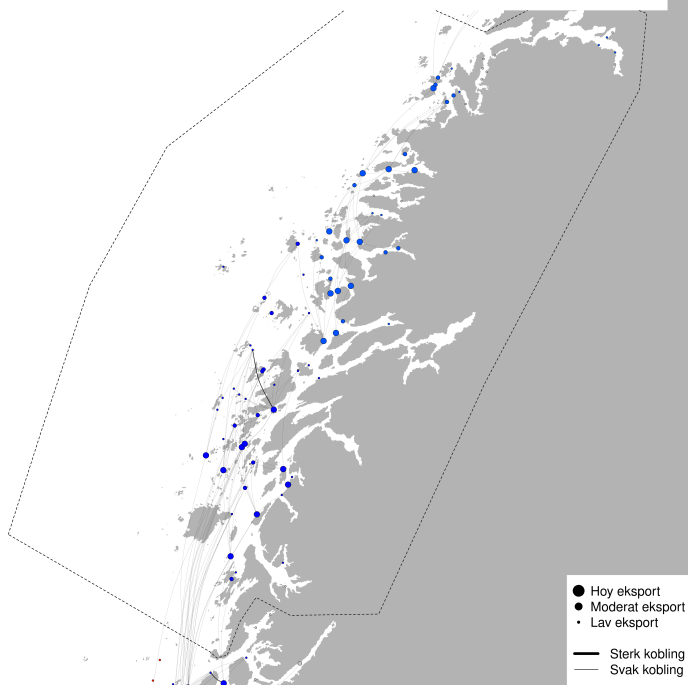
VENSTRE: Antall fisk (laks + regnbueørret) summert over alle anlegg i P008.

HØYRE: Totalt antall voksne holus i P008(antall fisk * antall holus per fisk).



VENSTRE: Beregnet (Stien mfl 2005) utslipp av luselarver (millioner klekte egg per time) per anlegg, uke 23 → Blå anlegg har rapportert null lus. Sorte anlegg har enten ikke rapportert, eller blitt brakklagt ila 2025. Anlegg uten rapporteringer i 2025 er ikke tatt med. Fargeskalaen er relativ, og viser bare innbyrdes variasjon!
 HØYRE: Tetthet av smittsomme lakseluslerv (per kvadratmeter), beregnet med Havforskningsinstituttet sin lakselusmodell.

PO8 - Modellert konnektivitet i perioden 2026-06-04 - 2026-06-14



VENSTRE: Smitte av lakselus-koepoditter mellom lokaliteter.

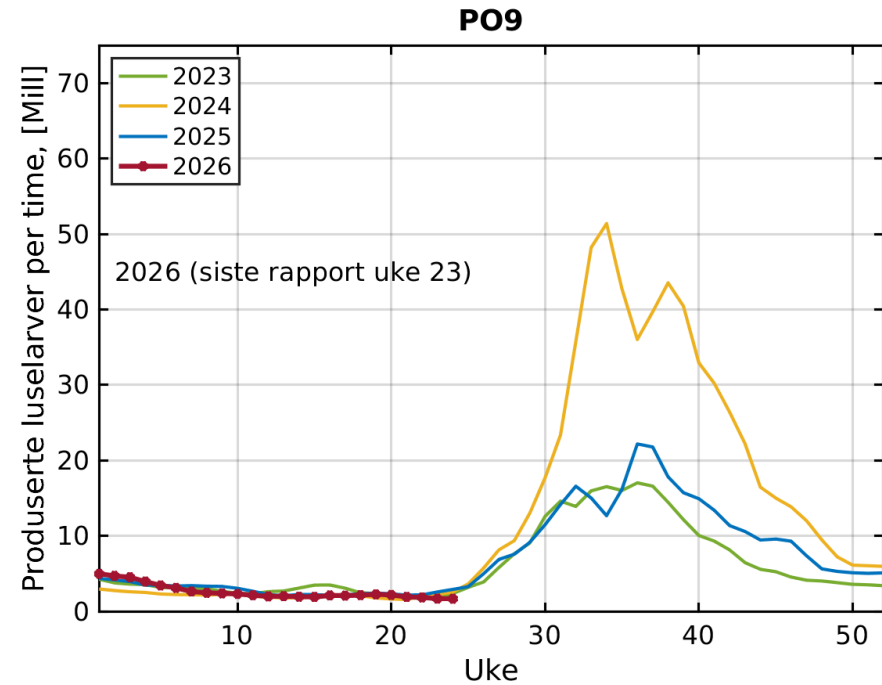
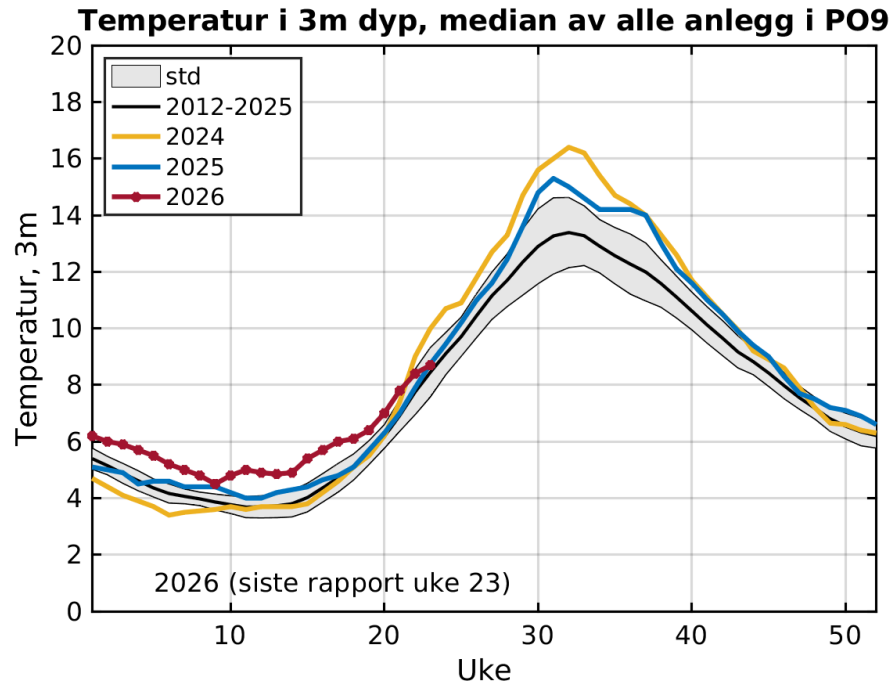
Fargene viser hvilke lokaliteter som blir definert til å ligge i samme smitte-nettverk (klynge) i den gjeldende perioden. Størrelsen på sirklene er rangert etter samlet eksport fra lokaliteten (store sirklere = stor eksport), basert på landsdekkende estimater for den gjeldende perioden. Tykke linjer (koblinger) viser stor transport og tynne linjer viser lavere transport. Merk at de minste koblingene er utelatt for å gjøre figuren mer lesbar. Linjer som krummer med klokken viser eksport fra en lokalitet og linjer som krummer mot klokken viser import.

Metoden for å identifisere smitte-nettverkene er beskrevet i M.B.O Huserbråten, I.A. Johnsen, Seasonal temperature regulates network connectivity of salmon louse, ICES Journal of Marine Science, 2022;, fsac024. LENKE <https://doi.org/10.1093/icesjms/fsac024>

Se også [nyhetssak](#) fra HI.

PO9

Vurdering frem til uke 24: Vanntemperaturen ligger om lag som gjennomsnittet for de siste 14 år.
Antall produserte luselarver (summert over alle anlegg som rapporterer i PO9) ligger om lag som i 2025.



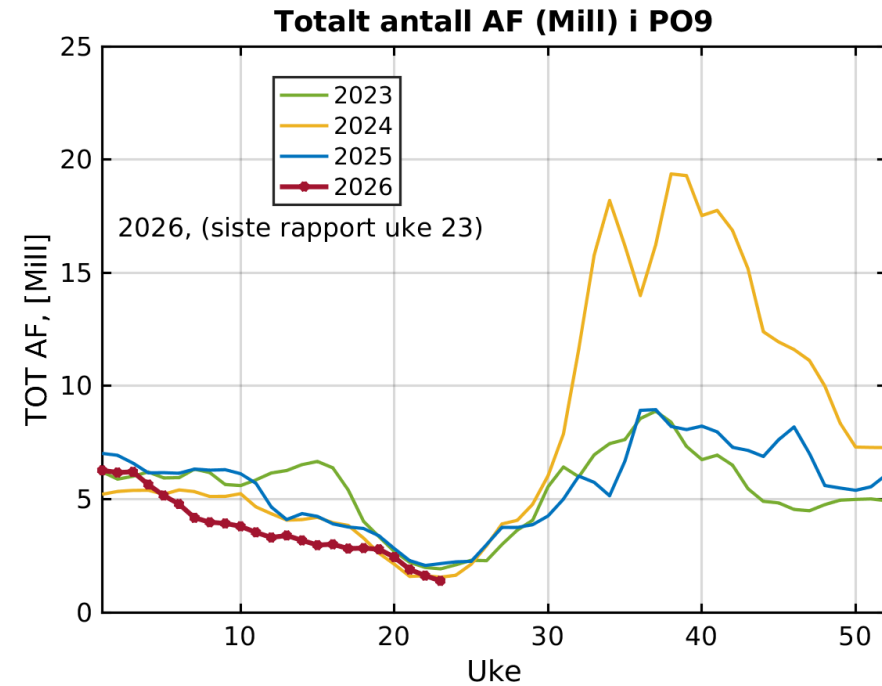
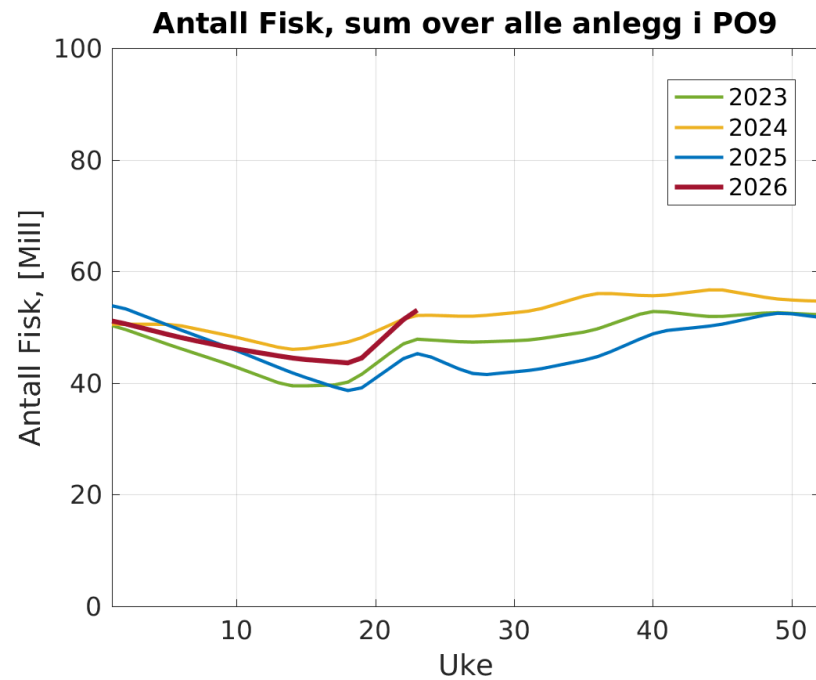
VENSTRE: Observert temperatur i 3m dyp. Sort linje viser middelverdien (2012 - 2025), og skravert felt viser pluss/minus et standardavvik.

HØYRE: Beregnet (Stien mfl 2005) utslipp av luselarver (summert over alle anlegg som rapporterer i PO9) Det er ofte noen etternølere som rapporterer en uke eller to etter fristen. Derfor kan grafene se litt annerledes ut enn i forrige uke.

Støttefigurer:

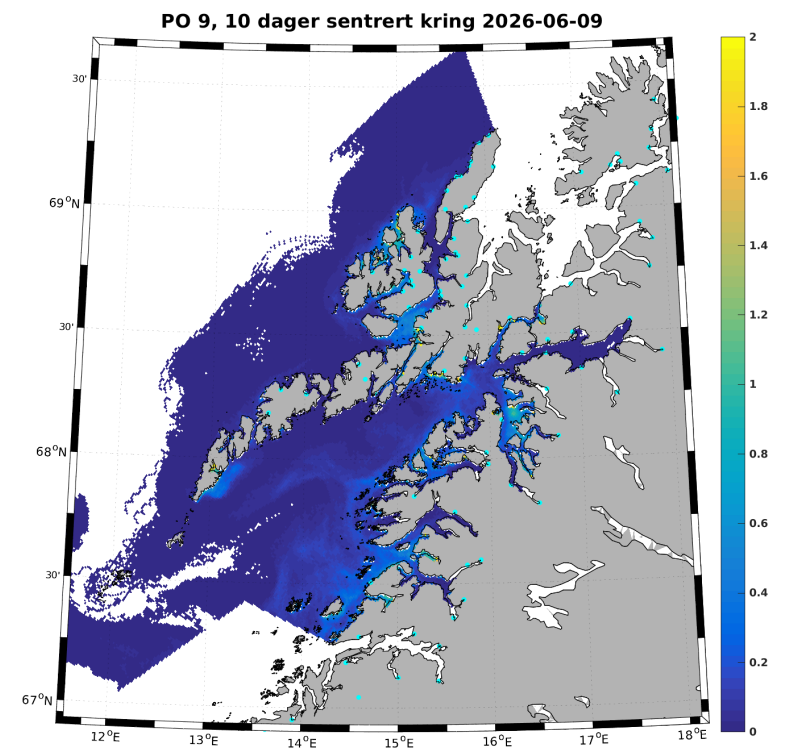
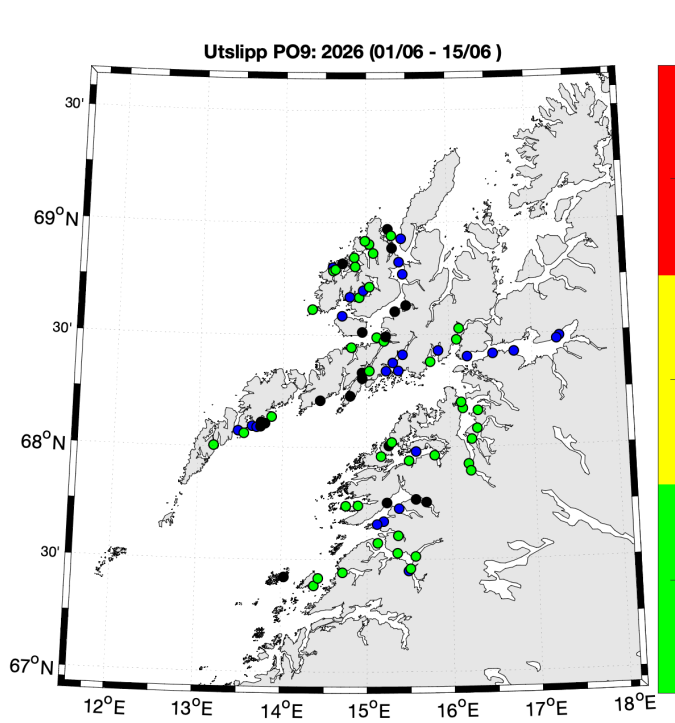
Sammen med vanntemperatur inngår antall fisk og antall voksne holus per fisk i formelen som benyttes til å estimere antall luselarver på forrige side (Stien mfl 2005)

$$N_{naup} = N_{fish} \cdot N_{female} \cdot 0.17 \cdot (T + 4.28)^2,$$



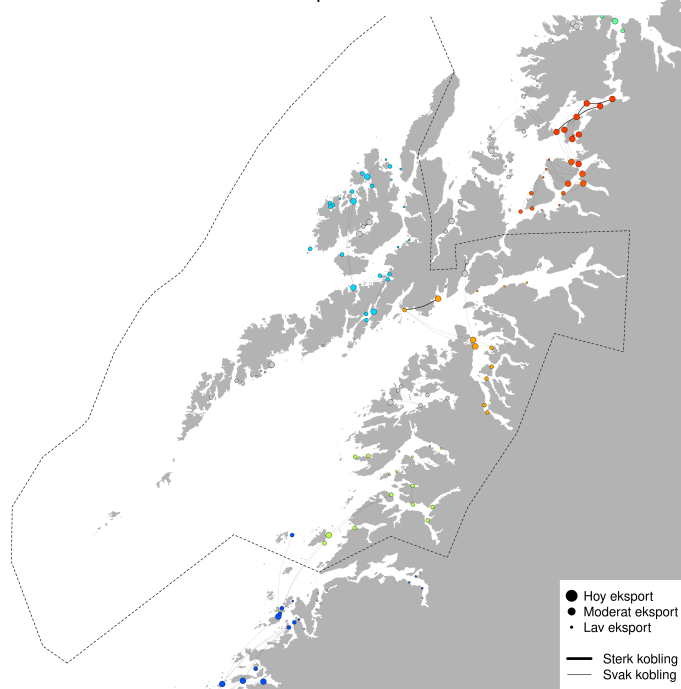
VENSTRE: Antall fisk (laks + regnbueørret) summert over alle anlegg i P009.

HØYRE: Totalt antall voksne holus i PO09(antall fisk * antall holus per fisk).



VENSTRE: Beregnet (Stien mfl 2005) utslipp av luselarver (millioner klekte egg per time) per anlegg, uke 23 → Blå anlegg har rapportert null lus. Sorte anlegg har enten ikke rapportert, eller blitt brakklagt ila 2025. Anlegg uten rapporteringer i 2025 er ikke tatt med. Fargeskalaen er relativ, og viser bare innbyrdes variasjon!
 HØYRE: Tetthet av smittsomme lakseluslarver (per kvadratmeter), beregnet med Havforskning sin lakselusmodell.

PO9 - Modellert konnektivitet i perioden 2026-06-04 - 2026-06-14



VENSTRE: Smitte av lakselus-koepoditter mellom lokaliteter.

Fargene viser hvilke lokaliteter som blir definert til å ligge i samme smitte-nettverk (klynge) i den gjeldende perioden. Størrelsen på sirklene er rangert etter samlet eksport fra lokaliteten (store sirklere = stor eksport), basert på landsdekkende estimater for den gjeldende perioden. Tykke linjer (koblinger) viser stor transport og tynne linjer viser lavere transport. Merk at de minste koblingene er utelatt for å gjøre figuren mer lesbar. Linjer som krummer med klokken viser eksport fra en lokalitet og linjer som krummer mot klokken viser import.

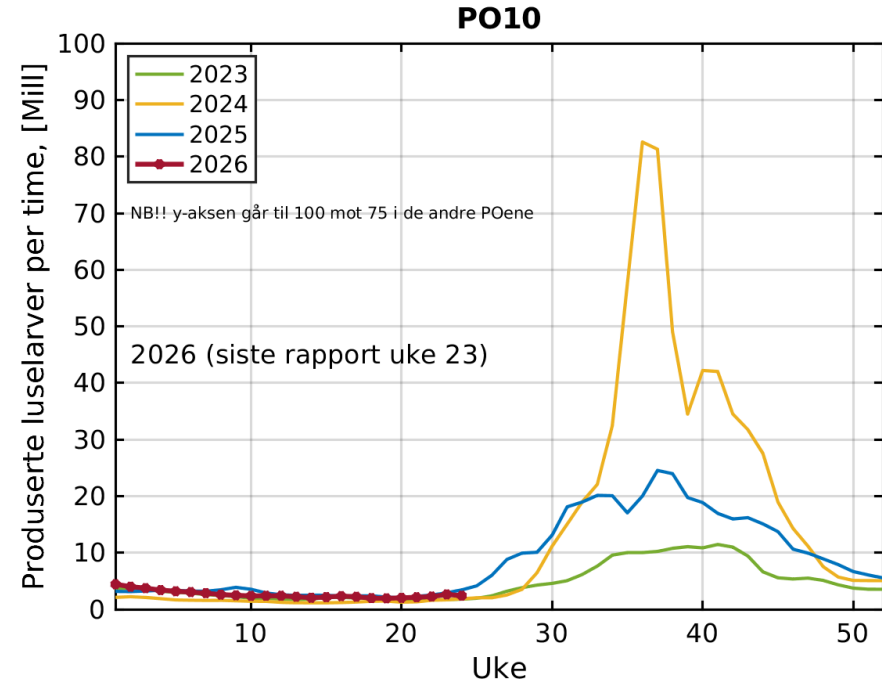
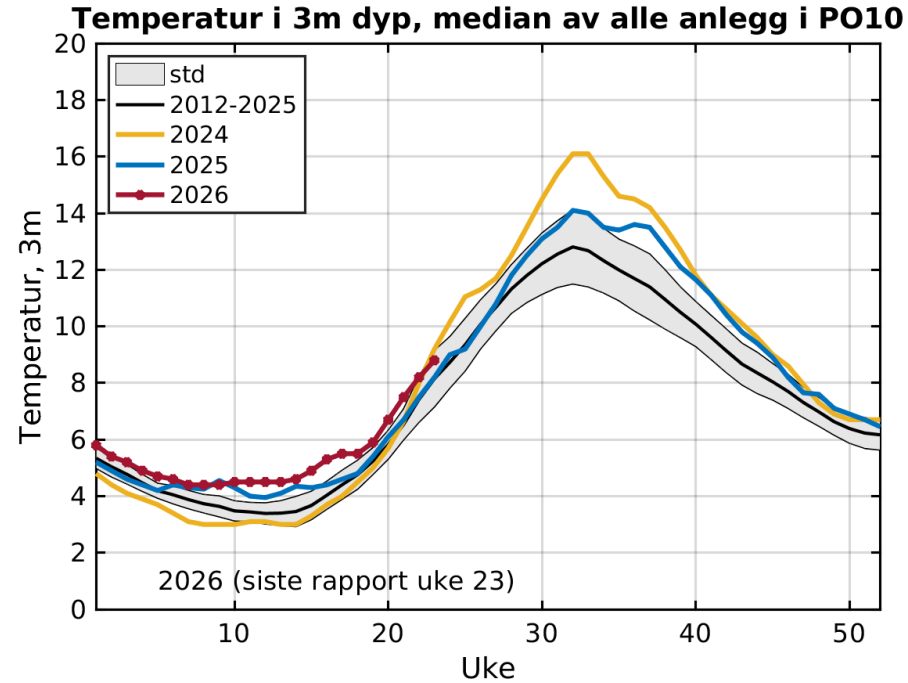
Metoden for å identifisere smitte-nettverkene er beskrevet i M.B.O Huserbråten, I.A. Johnsen, Seasonal temperature regulates network connectivity of salmon louse, ICES Journal of Marine Science, 2022;, fsac024. LENKE <https://doi.org/10.1093/icesjms/fsac024>

Se også [nyhetssak](#) fra HI.

PO10

Vurdering frem til uke 24: Vanntemperaturen ligger om lag som gjennomsnittet for de siste 14 år.

Antall produserte luselarver (summert over alle anlegg som rapporterer i PO10) ligger om lag på samme nivå som i 2025.



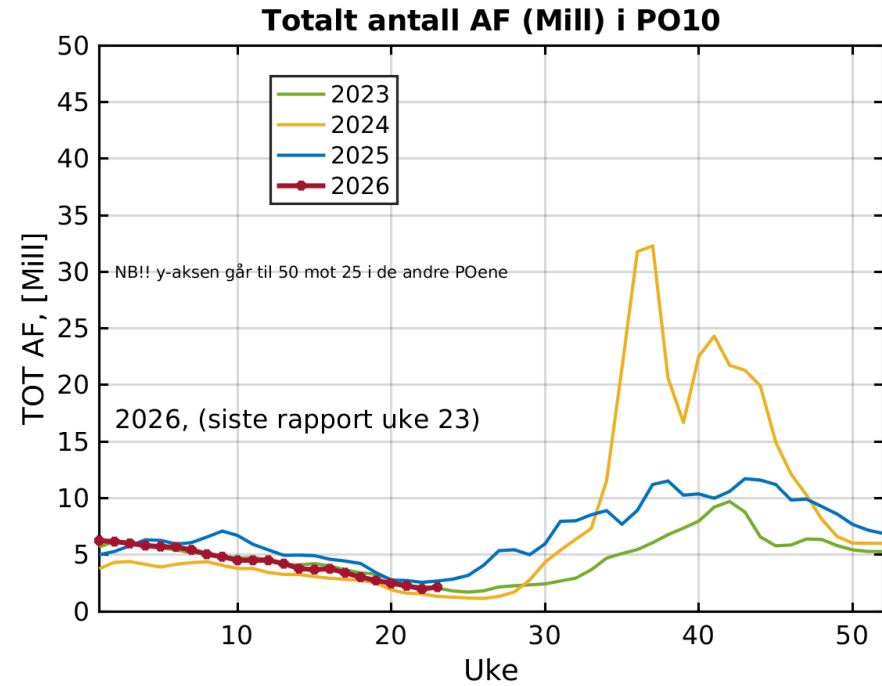
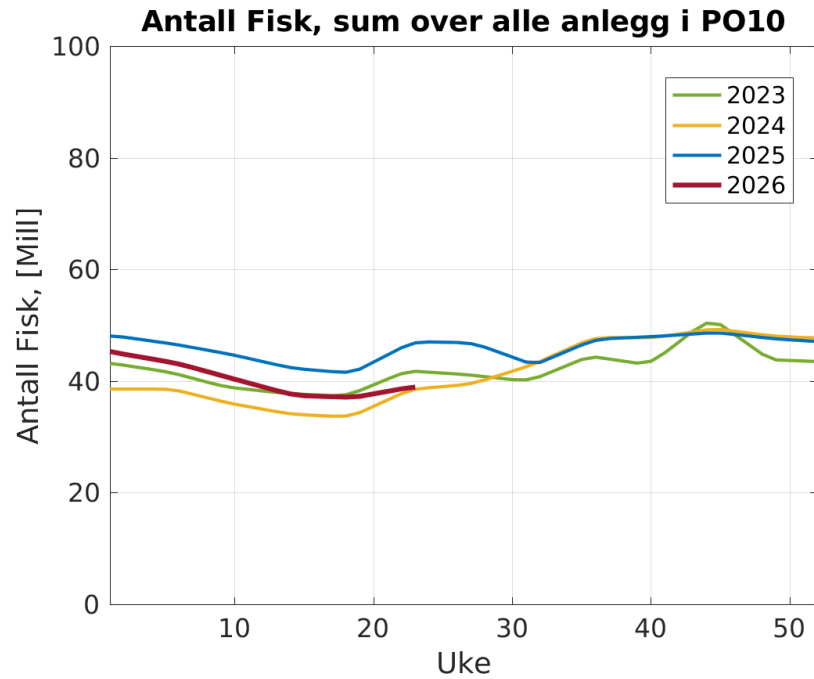
VENSTRE: Observert temperatur i 3m dyp. Sort linje viser middelverdien (2012 - 2025), og skravert felt viser pluss/minus et standardavvik.

HØYRE: Beregnet (Stien mfl 2005) utslipp av luselarver (summert over alle anlegg som rapporterer i PO10) Det er ofte noen etternølere som rapporterer en uke eller to etter fristen. Derfor kan grafene se litt annerledes ut enn i forrige uke.

Støttefigurer:

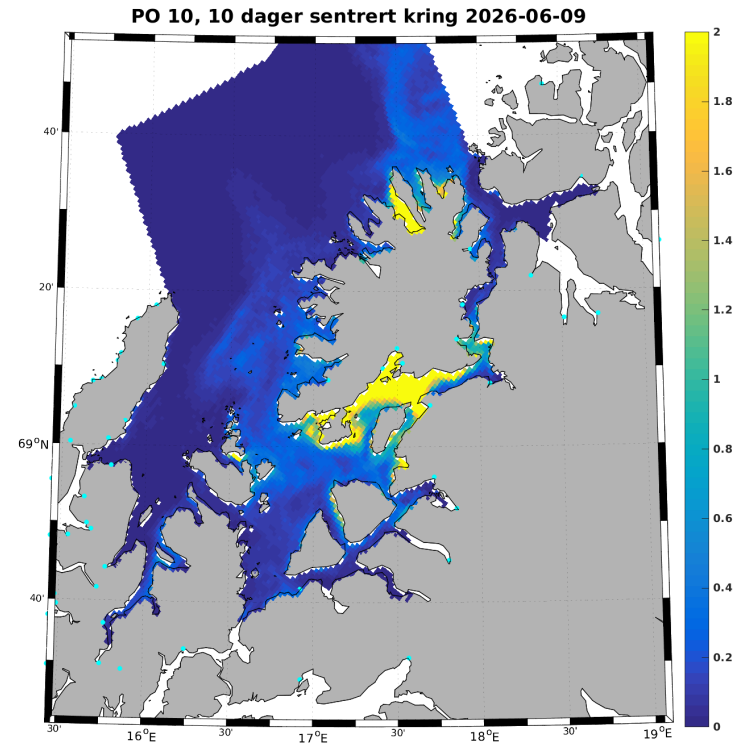
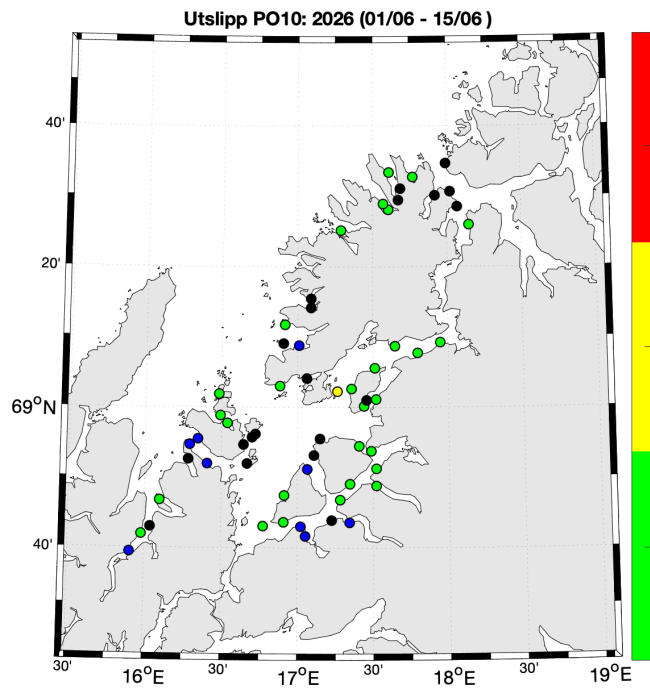
Sammen med vanntemperatur inngår antall fisk og antall voksne holus per fisk i formelen som benyttes til å estimere antall luselarver på forrige side (Stien mfl 2005)

$$N_{naup} = N_{fish} \cdot N_{female} \cdot 0.17 \cdot (T + 4.28)^2,$$



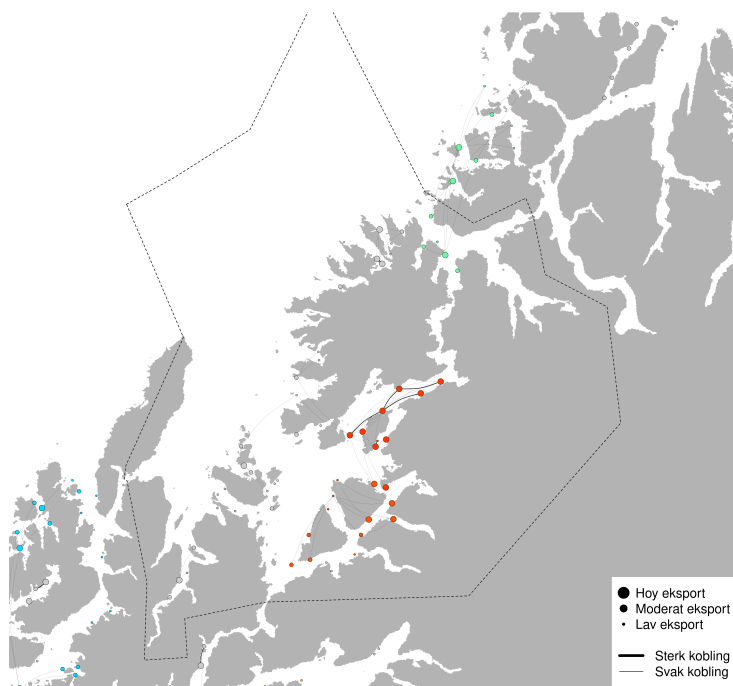
VENSTRE: Antall fisk (laks + regnbueørret) summert over alle anlegg i PO10.

HØYRE: Totalt antall voksne holus i PO10(antall fisk * antall holus per fisk).



VENSTRE: Beregnet (Stien mfl 2005) utslipp av luselarver (millioner klekte egg per time) per anlegg, uke 23 → Blå anlegg har rapportert null lus. Sorte anlegg har enten ikke rapportert, eller blitt brakklagt i 2025. Anlegg uten rapporteringer i 2025 er ikke tatt med. Fargeskalaen er relativ, og viser bare innbyrdes variasjon!
 HØYRE: Tetthet av smittsomme lakseluslarver (per kvadratmeter), beregnet med Havforskningsinstituttet sin lakselusmodell.

PO10 - Modellert konnektivitet i perioden 2026-06-04 - 2026-06-14



VENSTRE: Smitte av lakselus-koepoditter mellom lokaliteter.

Fargene viser hvilke lokaliteter som blir definert til å ligge i samme smitte-nettverk (klynge) i den gjeldende perioden. Størrelsen på sirklene er rangert etter samlet eksport fra lokaliteten (store sirklere = stor eksport), basert på landsdekkende estimater for den gjeldende perioden. Tykke linjer (koblinger) viser stor transport og tynne linjer viser lavere transport. Merk at de minste koblingene er utelatt for å gjøre figuren mer lesbar. Linjer som krummer med klokken viser eksport fra en lokalitet og linjer som krummer mot klokken viser import.

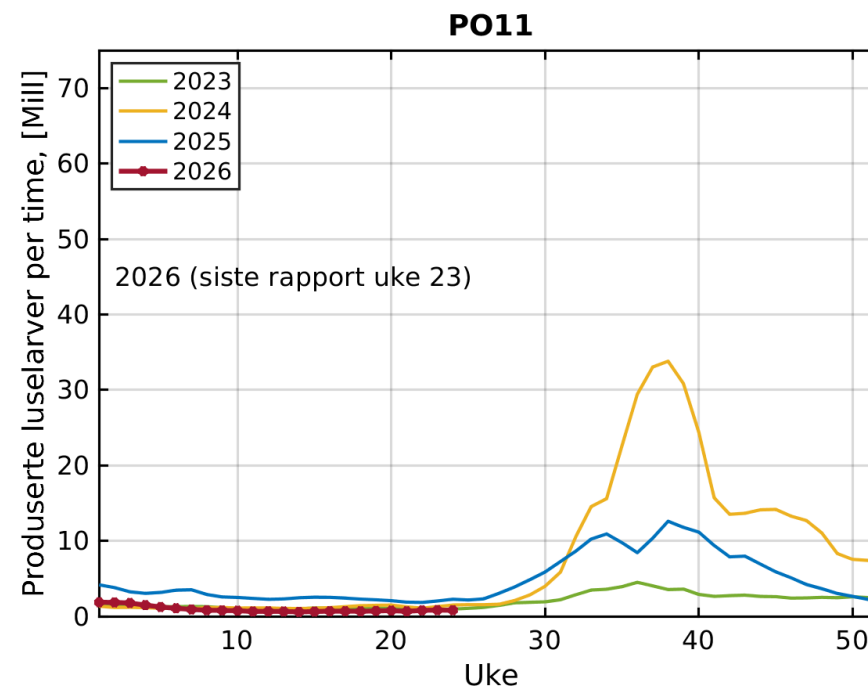
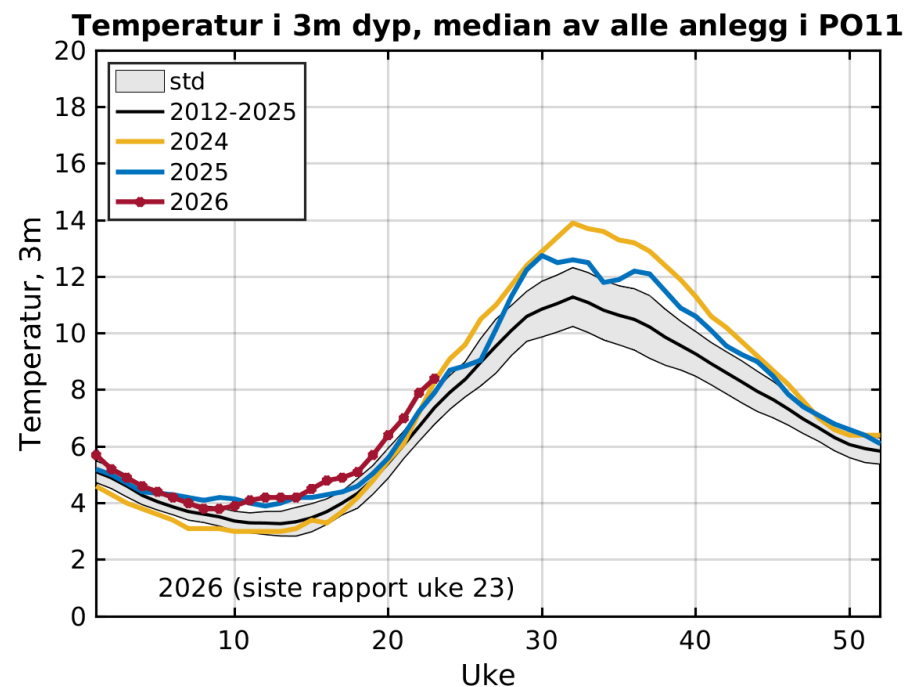
Metoden for å identifisere smitte-nettverkene er beskrevet i M.B.O Huserbråten, I.A. Johnsen, Seasonal temperature regulates network connectivity of salmon louse, ICES Journal of Marine Science, 2022;, fsac024. LENKE <https://doi.org/10.1093/icesjms/fsac024>

Se også [nyhetssak](#) fra HI.

PO11

Vurdering frem til uke 24: Vanntemperaturen ligger litt over gjennomsnittet for de siste 14 år.

Antall produserte luselarver (summert over alle anlegg som rapporterer i PO11) ligger under nivået som var i 2025.



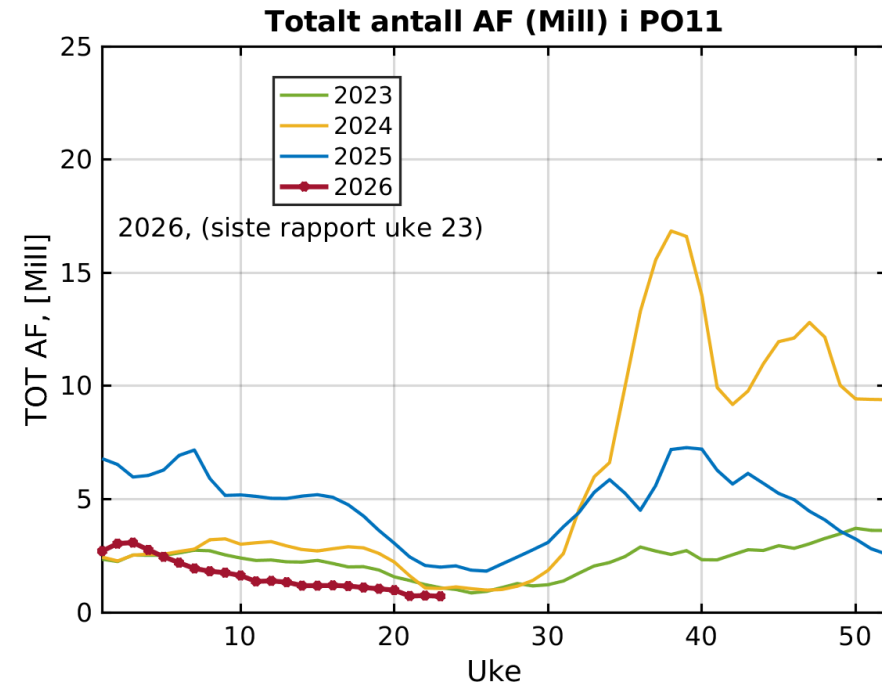
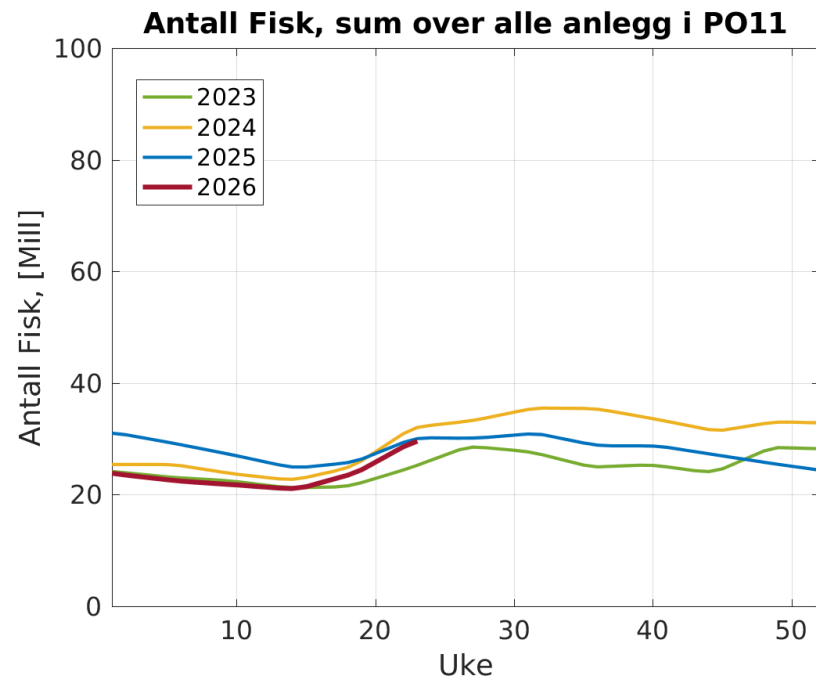
VENSTRE: Observert temperatur i 3m dyp. Sort linje viser middelverdien (2012 - 2025), og skravert felt viser pluss/minus et standardavvik.

HØYRE: Beregnet (Stien mfl 2005) utslipp av luselarver (summert over alle anlegg som rapporterer i PO11) Det er ofte noen etternølere som rapporterer en uke eller to etter fristen. Derfor kan grafene se litt annerledes ut enn i forrige uke.

Støttefigurer:

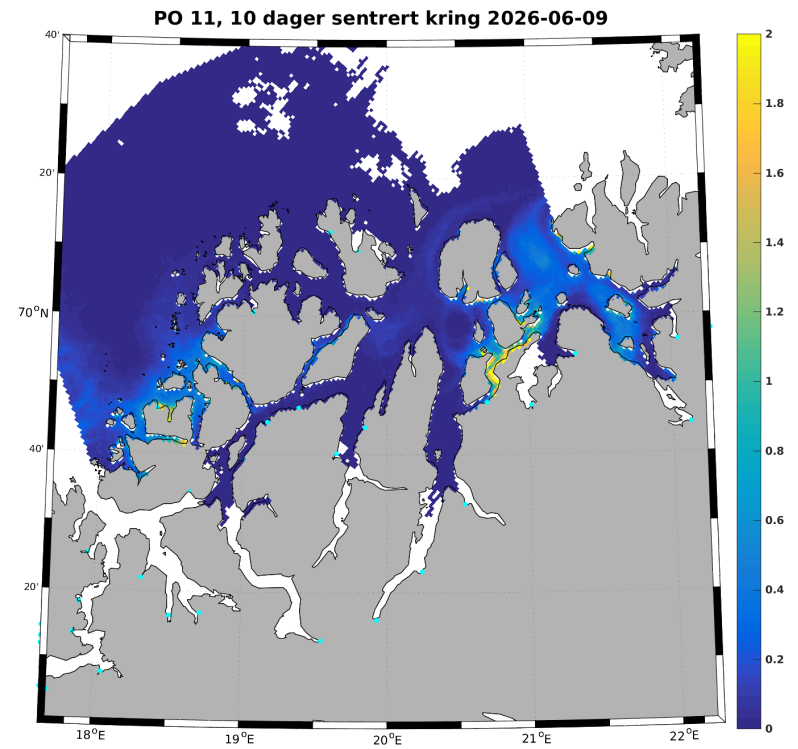
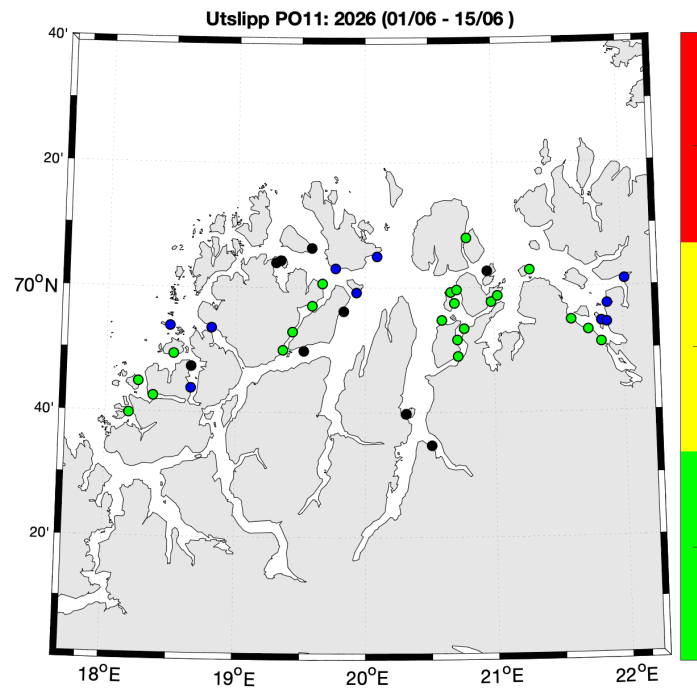
Sammen med vanntemperatur inngår antall fisk og antall voksne holus per fisk i formelen som benyttes til å estimere antall luselarver på forrige side (Stien mfl 2005)

$$N_{naup} = N_{fish} \cdot N_{female} \cdot 0.17 \cdot (T + 4.28)^2,$$



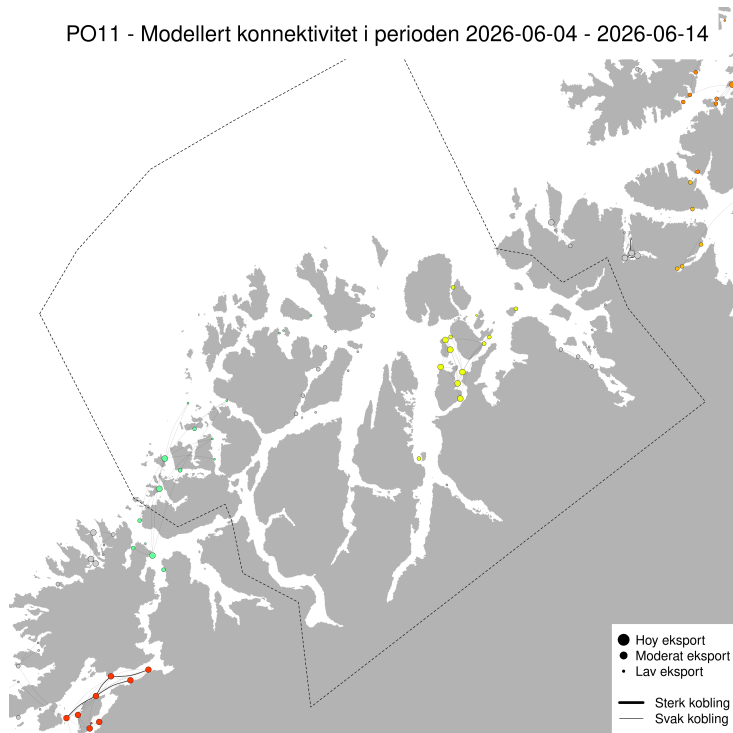
VENSTRE: Antall fisk (laks + regnbueørret) summert over alle anlegg i PO11.

HØYRE: Totalt antall voksne holus i PO11(antall fisk * antall holus per fisk).



VENSTRE: Beregnet (Stien mfl 2005) utslipp av luselarver (millioner klekte egg per time) per anlegg, uke 23 → Blå anlegg har rapportert null lus. Sorte anlegg har enten ikke rapportert, eller blitt brakklagt ila 2025. Anlegg uten rapporteringer i 2025 er ikke tatt med. Fargeskalaen er relativ, og viser bare innbyrdes variasjon!
 HØYRE: Tetthet av smittsomme lakseluslarver (per kvadratmeter), beregnet med Havforskningsinstituttet sin lakselusmodell.

PO11 - Modellert konnektivitet i perioden 2026-06-04 - 2026-06-14



VENSTRE: Smitte av lakselus-koepoditter mellom lokaliteter.

Fargene viser hvilke lokaliteter som blir definert til å ligge i samme smitte-nettverk (klynge) i den gjeldende perioden. Størrelsen på sirklene er rangert etter samlet eksport fra lokaliteten (store sirklere = stor eksport), basert på landsdekkende estimater for den gjeldende perioden. Tykke linjer (koblinger) viser stor transport og tynne linjer viser lavere transport. Merk at de minste koblingene er utelatt for å gjøre figuren mer lesbar. Linjer som krummer med klokken viser eksport fra en lokalitet og linjer som krummer mot klokken viser import.

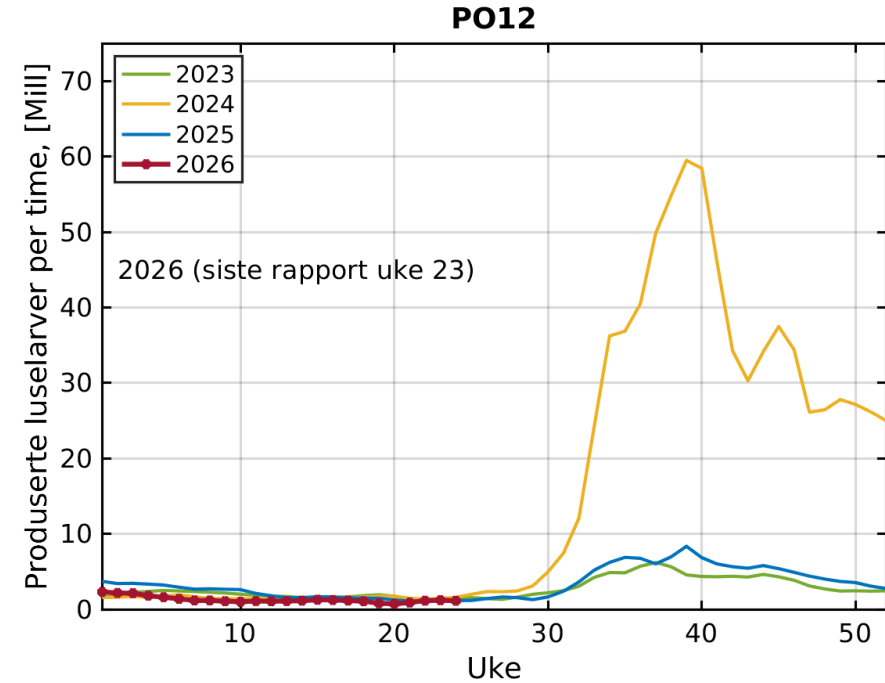
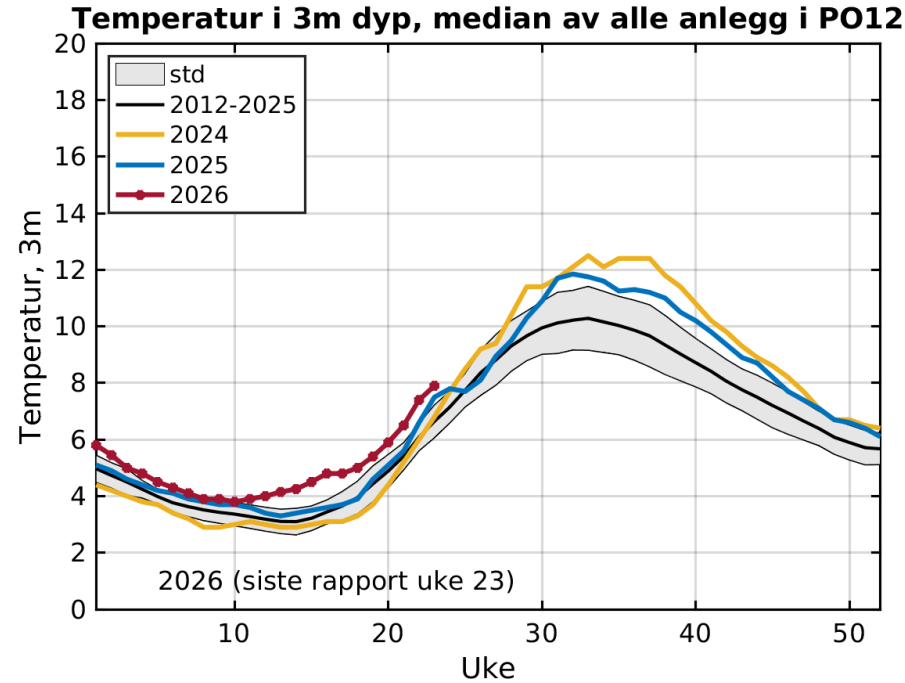
Metoden for å identifisere smitte-nettverkene er beskrevet i M.B.O Huserbråten, I.A. Johnsen, Seasonal temperature regulates network connectivity of salmon louse, ICES Journal of Marine Science, 2022;, fsac024. LENKE <https://doi.org/10.1093/icesjms/fsac024>

Se også [nyhetssak](#) fra HI.

PO12

Vurdering frem til uke 24: Vanntemperaturen ligger over gjennomsnittet for de siste 14 år.

Antall produserte luselarver (summert over alle anlegg som rapporterer i PO12) ligger om lag på samme nivå som i 2025.



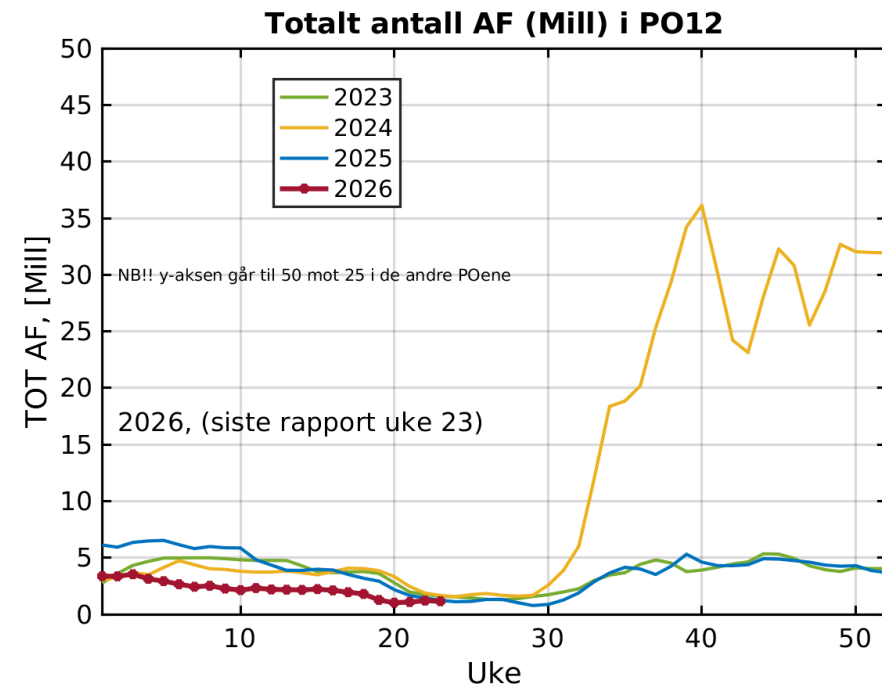
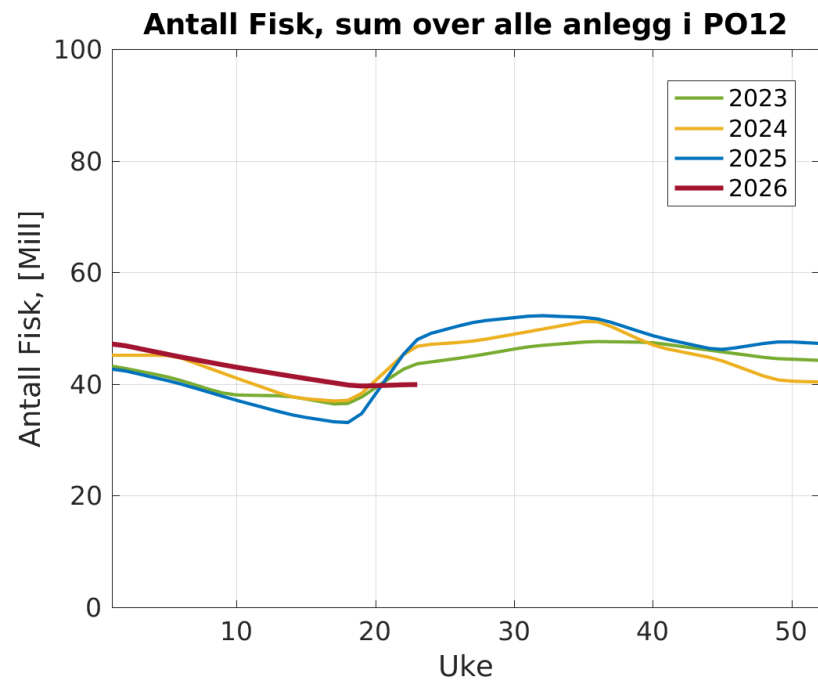
VENSTRE: Observert temperatur i 3m dyp. Sort linje viser middelværdien (2012 - 2025), og skravert felt viser pluss/minus et standardavvik.

HØYRE: Beregnet (Stien mfl 2005) utslipp av luselarver (summert over alle anlegg som rapporterer i PO12) Det er ofte noen etternølere som rapporterer en uke eller to etter fristen. Derfor kan grafene se litt annerledes ut enn i forrige uke.

Støttefigurer:

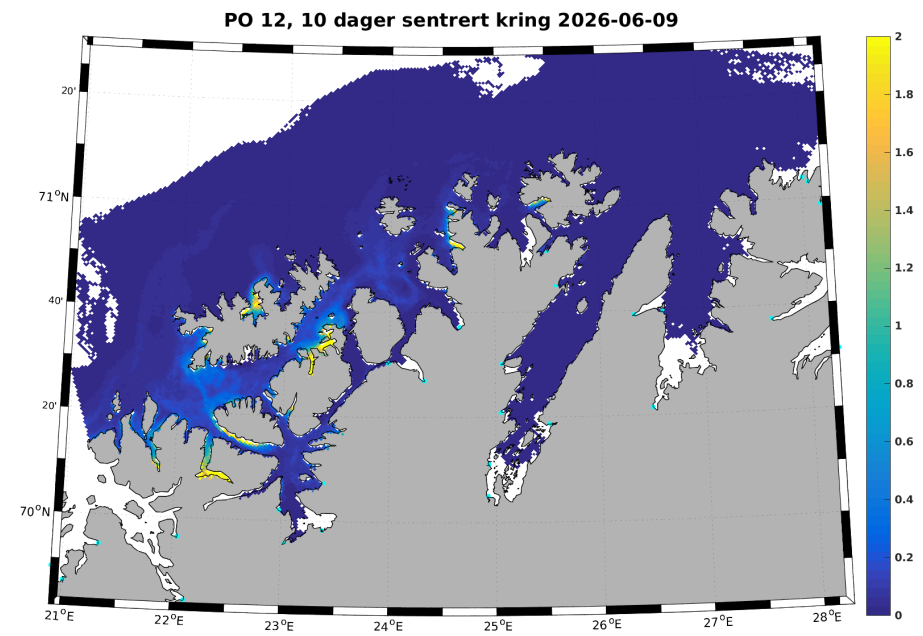
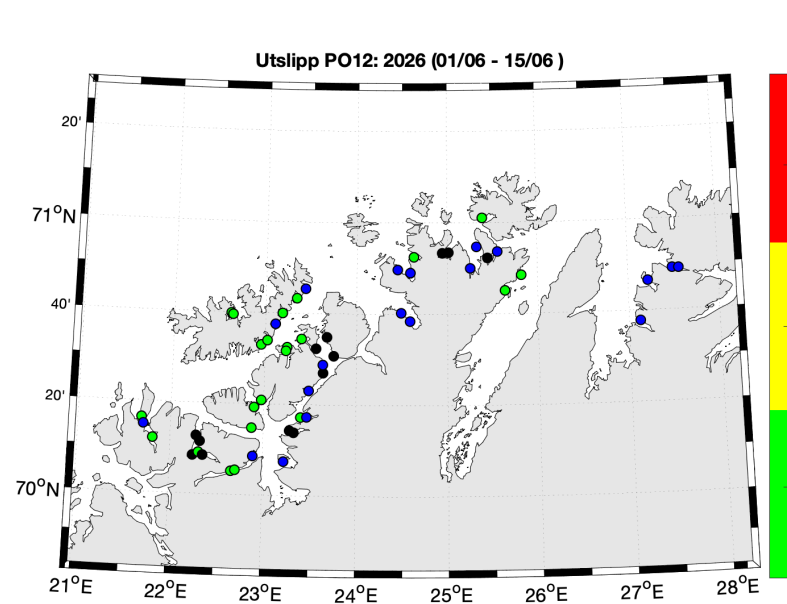
Sammen med vanntemperatur inngår antall fisk og antall voksne holus per fisk i formelen som benyttes til å estimere antall luselarver på forrige side (Stien mfl 2005)

$$N_{naup} = N_{fish} \cdot N_{female} \cdot 0.17 \cdot (T + 4.28)^2,$$



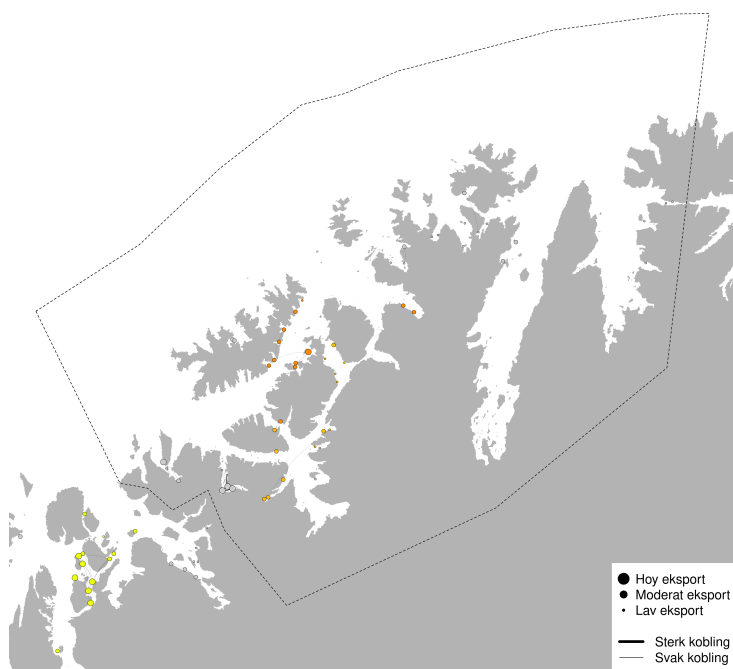
VENSTRE: Antall fisk (laks + regnbueørret) summert over alle anlegg i PO12.

HØYRE: Totalt antall voksne holus i PO12(antall fisk * antall holus per fisk).



VENSTRE: Beregnet (Stien mfl 2005) utslipp av luselarver (millioner klekte egg per time) per anlegg, uke 23 → Blå anlegg har rapportert null lus. Sorte anlegg har enten ikke rapportert, eller blitt brakklagt ila 2025. Anlegg uten rapporteringer i 2025 er ikke tatt med. Fargeskalaen er relativ, og viser bare innbyrdes variasjon!
 HØYRE: Tetthet av smittsomme lakseluslarver (per kvadratmeter), beregnet med Havforskningsinstituttet sin lakselusmodell.

PO12 - Modellert konnektivitet i perioden 2026-06-04 - 2026-06-14



VENSTRE: Smitte av lakselus-koepoditter mellom lokaliteter.

Fargene viser hvilke lokaliteter som blir definert til å ligge i samme smitte-nettverk (klynge) i den gjeldende perioden. Størrelsen på sirklene er rangert etter samlet eksport fra lokaliteten (store sirklere = stor eksport), basert på landsdekkende estimater for den gjeldende perioden. Tykke linjer (koblinger) viser stor transport og tynne linjer viser lavere transport. Merk at de minste koblingene er utelatt for å gjøre figuren mer lesbar. Linjer som krummer med klokken viser eksport fra en lokalitet og linjer som krummer mot klokken viser import.

Metoden for å identifisere smitte-nettverkene er beskrevet i M.B.O Huserbråten, I.A. Johnsen, Seasonal temperature regulates network connectivity of salmon louse, ICES Journal of Marine Science, 2022;, fsac024. LENKE <https://doi.org/10.1093/icesjms/fsac024>

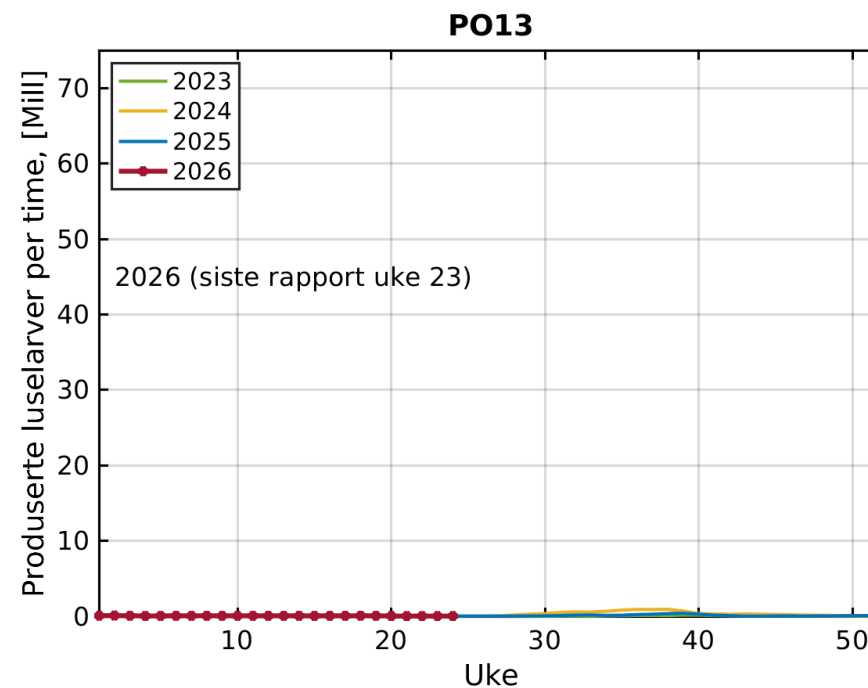
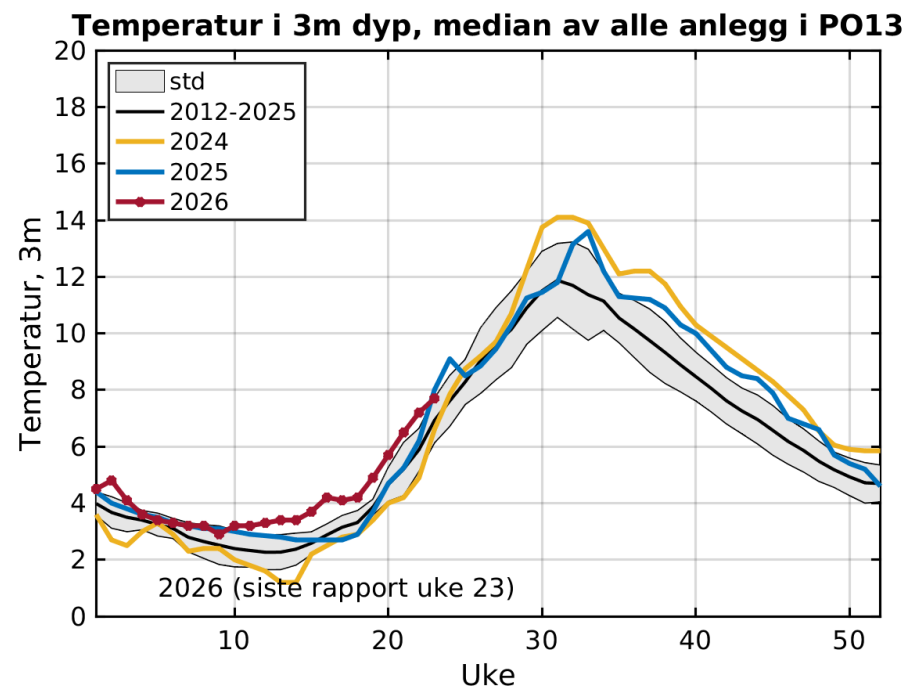
Se også [nyhetssak](#) fra HI.

PO13

Vurdering frem til uke 24: Vanntemperaturen er litt høyere enn i 2025.

Her mangler data for enkelte uker i enkelte år slik at en vuredring i forhold til gjennomsnittet for de siste 14 år ikke kan utføres.

Antall produserte luselarver (summert over alle anlegg som rapporterer i PO13) er lavt, som i 2021 - 2025.



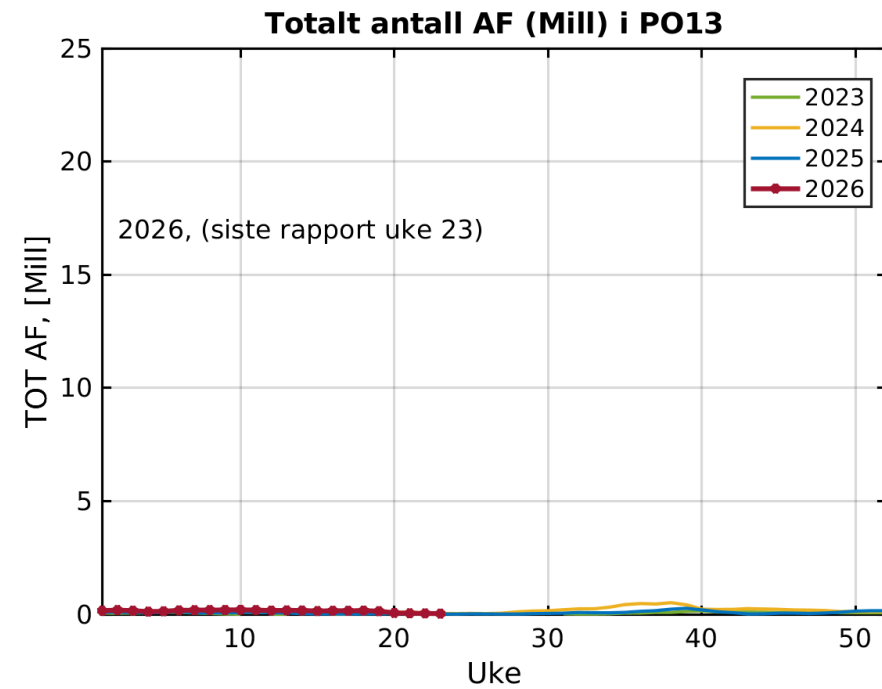
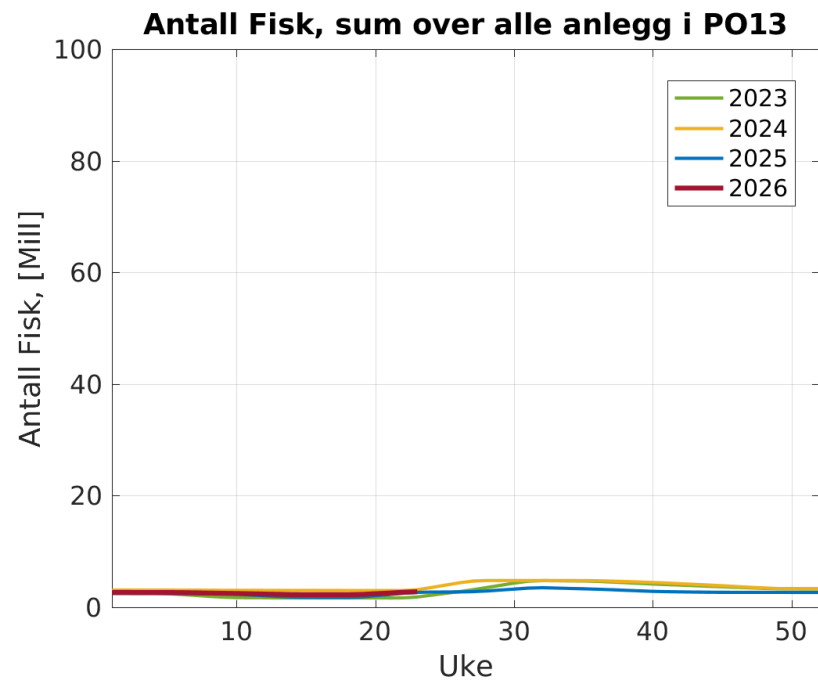
VENSTRE: Observert temperatur i 3m dyp. Sort linje viser middelverdien (2012 - 2025), og skravert felt viser pluss/minus et standardavvik.

HØYRE: Beregnet (Stien mfl 2005) utslipp av luselarver (summert over alle anlegg som rapporterer i PO13) Det er ofte noen etternølere som rapporterer en uke eller to etter fristen. Derfor kan grafene se litt annerledes ut enn i forrige uke.

Støttefigurer:

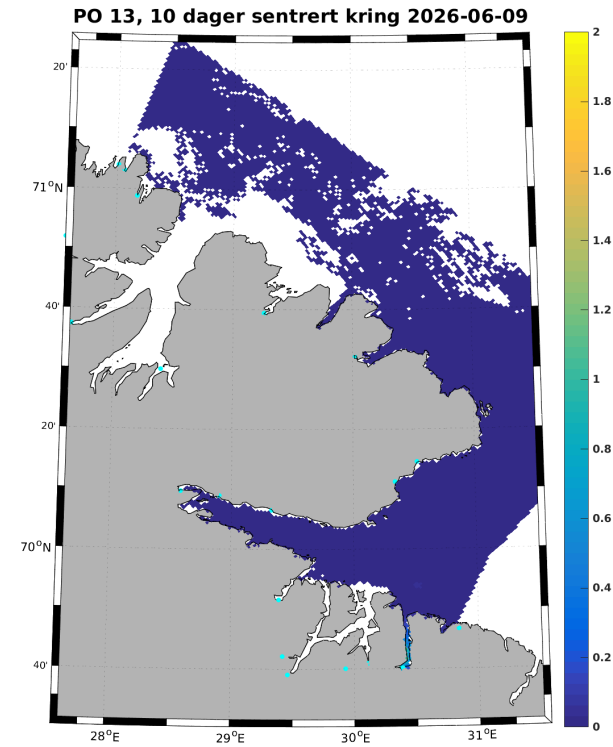
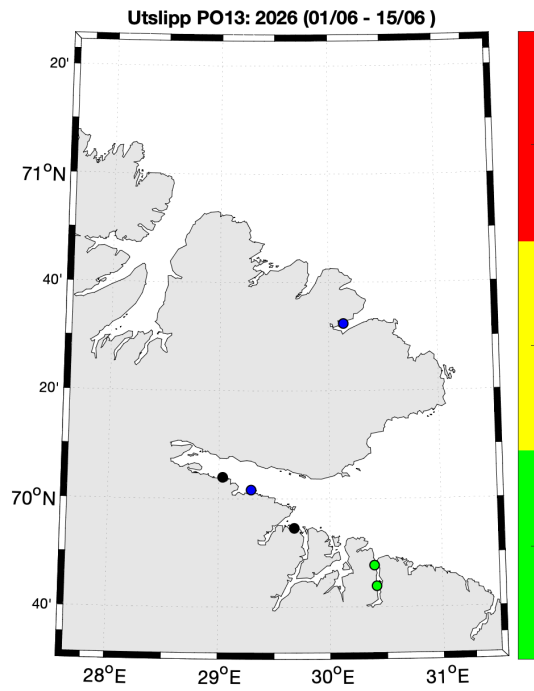
Sammen med vanntemperatur inngår antall fisk og antall voksne holus per fisk i formelen som benyttes til å estimere antall luselarver på forrige side (Stien mfl 2005)

$$N_{naup} = N_{fish} \cdot N_{female} \cdot 0.17 \cdot (T + 4.28)^2,$$



VENSTRE: Antall fisk (laks + regnbueørret) summert over alle anlegg i PO13.

HØYRE: Totalt antall voksne holus i PO13(antall fisk * antall holus per fisk).



VENSTRE: Beregnet (Stien mfl 2005) utslipp av luselarver (millioner klekte egg per time) per anlegg, uke 23 → Blå anlegg har rapportert null lus. Sorte anlegg har enten ikke rapportert, eller blitt brakklagt ila 2025. Anlegg uten rapporteringer i 2025 er ikke tatt med. Fargeskalaen er relativ, og viser bare innbyrdes variasjon!
 HØYRE: Tetthet av smittsomme lakseluslarver (per kvadratmeter), beregnet med Havforskningsinstituttet sin lakselusmodell.

PO13 - Modellert konektivitet i perioden 2026-06-04 - 2026-06-14



VENSTRE: Smitte av lakselus-koepoditter mellom lokaliteter.

Fargene viser hvilke lokaliteter som blir definert til å ligge i samme smitte-nettverk (klynge) i den gjeldende perioden. Størrelsen på sirklene er rangert etter samlet eksport fra lokaliteten (store sirklere = stor eksport), basert på landsdekkende estimater for den gjeldende perioden. Tykke linjer (koblinger) viser stor transport og tynne linjer viser lavere transport. Merk at de minste koblingene er utelatt for å gjøre figuren mer lesbar. Linjer som krummer med klokken viser eksport fra en lokalitet og linjer som krummer mot klokken viser import.

Metoden for å identifisere smitte-nettverkene er beskrevet i M.B.O Huserbråten, I.A. Johnsen, Seasonal temperature regulates network connectivity of salmon louse, ICES Journal of Marine Science, 2022;, fsac024. LENKE <https://doi.org/10.1093/icesjms/fsac024>

Se også [nyhetssak](#) fra HI.